2 6 4 П В 8 % В Г Д О К Л А Д Ы

Том 93 № 1 1992

Խմբագրական կոյեզիա

Գ. Ա. ԱՐՋՈՒՄԱՆՑԱՆ, տեխն, գիտ, ընկնածու (պատ. քաrտուղաբ), է. Գ. ԱՖՐԻԿԵԱՆ, Հայաստանի ԳԱ ակաղեմիկոս, Ա. Թ. ԲԱ-**ԲԱՅԱՆ, Հայաստանի ԳԱ ակաղեմիկոս, Ա.** Հ. ԳԱԲՐԻԵԼՑԱՆ, Հայաստանի ԳԱ ակադեմիկոս, Ա. Ա. ԲԱԼԱԼՅԱՆ, Հայաստանի ԳԱ թղթ. անդամ, Վ. Հ. ՀԱՄԲԱՐՉՈՒՄ-ՑԱՆ. ակադեմիկոս, Վ. Հ. ՂԱՂԱՐՅԱՆ, Հայաստանի Գև ակադեմիկոս (պատ. խըմրագրի տեղակալ), Վ. Դ. ՄԽԻԲԱՐՅԱՆ, Հայաստանի ԳԱ թղթ. անդամ, Գ. Ս. ՍԱ-ՀԱԿՑԱՆ, Հայաստանի ԴԱ ակաղեմիկոս, Դ. Մ. ՍԵԳՐԱԿՅԱՆ, Հայաստանի ԳԱ ակադեմիկոս (պատ. խմբագիբ), Մ. Լ. ՏԵՐ-ՄԻՔԱՅԵԼՅԱՆ, Հայաստանի ԳԱ ակադեմիկոս, Վ. Բ. ՖԱՆԱՐՋՅԱՆ, Հայաստանի Գև ակադեմիկոս։

Редакционная коллегия

В. А. АМБАРЦУМЯН, академик. Г. А АРЗУМАНЯН, канд. техн наук (отв. секретарь). Э Г. АФРИКЯН, академик АН Армении, А. Т. БАБАЯН, академик АН Армении, А А ГАБРИЕЛЯН, академик АН Армении, В. О. КАЗАРЯН, академик АН Армении (зам. отв редактора), В. Г. МХИТАРЯН, чл.-корр. АН Армении, Г. С. СААКЯН, академик АН Армении, Д. М. СЕДРАКЯН, акалемик АН Армении (отв. редактор), А. А ТАЛАЛЯН, чл.-корр. АН Армении М. Л ТЕР МИКАЕЛЯН, академик АН Армении, В. В. ФАНАРДЖЯН, академик АН Армении, В. В. ФАНАРДЖЯН, академик АН Армении.

ՀԱՅԱՍՏԱՆԻ ԳԻՏՈՒԹՅՈՒՆՆԵՐԻ ԱԿԱԴԵՄԻԱՅԻ ՀՐԱՏԱՐԱԿՉՈՒԹՅՈՒՆ

የበՎԱՆԴԱԿՈՒԹՅՈՒՆ

UUPbUUSP4U

Ա. Ս. Սարգսյան <i>– Լերեգի ֆունկցիաները և Ֆուրյեի շարջերի տարաժիտությունը</i> Ա. Ա. Ալեքսանյան, Ռ. Կ. Սերոբյան <i>–Վերջավոր դաչտում քառակուսային հավա</i> -	3
սարումների Հետ կապված ծածկույβներ	6
յալի նկատմամբ չյուծված մասնակի ածանցյալներով հավասարման համար	11
շաշվողական ՄաթեՄաՏԻԿԱ	
Հ. Բ. Նեrարսյան, Գ. Ո. Աղեկյան—Տլոպլիցյան տիպի մատրիցներով համակարգե- րի լուծման վեկտորացված ալգորիβմներ	17
นกนอานานนกาคอนน รอบกาคอกาน	
3ու. Ա. Անտիպով, Ն. Խ. Հաբությունյան— <i>Անհամասեռ պտտման մարմինների ոլոր</i> -	
ժան դեպքում Համապատասխանության սկզբունքի մասին	23
թով առաձղական կիսանարթության նամար նականաթթ կոնտակտային խնդիր	28
ՄՈԼԵԿՈՒԼՅԱՐ ԿԵՆՍԱԲԱՆՈՒԹՅՈՒՆ	
Ռ. Ա. Զաքարյան, Մ. Ա. Պողոսյան—Բջջում օլիգոնուկլեոտիդային մոլեկուլների Քաղանթային տեղափոխման մեխանիզմը	33
መተደበ ነበ ተመመ መመመ መመመ መመመ መመመ መመመ መመመ መመመ መመመ መመ	
է. Ա. Հովճաննիսյան— <i>Ուղեղիկի կենտրոնական կորիզների նեյրոնների ֆոնային</i>	20
ակտիվությունը	38
կորիզ-ողնուղնղային նեյրոնների արագ պատասխանները	42
Մելքոնյան, Ս. It. Նեւսիսյան, Վ. Հ. Սաւգսյան, Ն. Վ. Թաբիւյան—Մարդու կողմից ուզ- շորդված լուսային իմպուլսների ճառագայթման հայտնաբերումը	43

СОДЕРЖАНИЕ

	MA	TEM	ATI	IKA
--	----	-----	-----	-----

А. С. Саргсян — Функции Лебега и расходимость рядов Фурье А. А. Алексанян, Р. К. Серобян — Покрытня, связанные с квадратичными	3
над конечным полем уравнениями А. А. Андрян — Граничные задачи в двугранных углах для уравнений	6
в частных производных, не разрешенных относительно старшей производной	11
ВЫЧИСЛИТЕЛЬНАЯ МАТЕМАТИКА	
А. Б. Нерсесян, Г. В. Агекян — Векторизованные алгоритмы решения систем с матрицами теплицева типа	17
теория упругости	
Ю. А. Антипов, Н. Х. Арутюнян — О принципе соответствия при кручении исодпородных тел вращения	
полуплоскости	28
МОЛЕКУЛЯРНАЯ БИОЛОГИЯ	
Р А Захарян, М. А. Погосян — Мембранный механизм переноса молекул слигонуклеотидов в клетку	33
физнология	
Э. А. Оганесян — Фоновая импульсная активность нейронов центральных эдер мозжечка бодрствующей кошки	38
испронов на корковые сигналы	42
Мелконян, С. Р.Нерсесян, В. А. Саркисян, Н. В. Табирян — Импульсное направленное световое излучение человека	44

CONTENTS

AA A	- N		PER W.	_	_
AVLA	 - 1	/a /a		-	
MA	 -	LYN		v	

A. S. Sargstan — Lebesque functions and divergence of Fourier series A. A. Alexanian, R. K. Serobian — Covers concerned with the quadratic	3	
over finite field equations	6	148
A. A. Andrian — The boundary value problem in angle dihedral for partial differential equations unsolvable by means of a high derivative	11	1 c. 1
COMPUTER MATHEMATICS		N.
H. B. Nersessian, G. V. Agekian — The parallel algorithms for solving of systems with matrices of Toeplitz type	17	992, T. 93
THEORY OF ELASTICITY		и. 19
Yu. A. Antipov. N. Kh. Arutyunian — On the correspondence principle for inhomogeneous axially symmetrical bodies under tersion	23	к Армени
half-plane	28	и нау
MOLECULAR BIOLOGY		демии
B. A. Zakharian, M. A. Pogosian — Membrane mechanism of transport of oligonucleotides into cell	33	ды Акаде
PHYSIOLOGY		Доклады
E. A. Itouhannissian — The Neuronal background activity of the cerebellar central nuclei in alert cat	38	1339. 7
to cortical signals	42	0321-
(i. Kh. Melkontan, S. R. Nersistan, V. A. Sarkistan, N. V. Tubirian — Observation of directed light pulses emitted from tge human body		ISSN

Сдано в набор 20.05.1991 г. Подписано к печати 19.06.1992 г. Формат 70 × 1081/10. Бумага № 1, сыктывкарская. Высокая печать. Печ. лист 3.0. Усл. печ. л. 4.2. Усл. кр. отт. 4.2. Учет. изд. л. 3.32. Тираж 435. Заказ № 71. Издат. № 7964. Цена 1 р 10 к.

Адр. ред.: 375019. Ереван. пр. Маршаля Баграмяна, 24 г. III эт., к. 13, т. 27-36-95

Издательство Академин наук Армении, 375 / 19, Ереван. пр. Маршала Баграмяна. 24 г. Типография Издательства Академии наук Армении, 575019, Ереван. пр. Маршала Баграмяна, 24.

Tom 93

992

No 1

MATEMATHKA

УДК 517 5

А. С. Саргсян

Функции Лебега и расходимость рядов Фурье

(Представлено чл.-корр АН Арменин А. А Талаляном 27/III 1991)

В вопросах изучения сходимости и расходимости рядов Фурье во ортопормальным системам (ОНС) важную роль играют функции Лебега, определяемые следующим образом:

$$L_n(x) = \int \left| \sum_{k=1}^n \varphi_k(x) \, \varphi_k(t) \right| dt, \quad n = 1, 2, \dots$$
 (1)

Эти функции были введены А. Лебегом (см. (1), с. 86—88), который исследовал их влияние на расходимость рядов Фурье

$$f \sim \sum_{n=1}^{\infty} C_n \varphi_n(x), \qquad C_n = \int_0^1 f(x) \varphi_n(x) dx. \tag{2}$$

Хорошо известен результат С. Качмажа (2) о том, что если для векоторой ОНС $\Phi = \{ \varphi_n(x) \}_{n=1}$ имеет место следующее условие:

$$L_n(x) < C$$
, $x \in G$, $G \subset [0, 1]$, $|G| > 0$, $n = 1, 2, ...,$ (3)

то для произвольной функции из L^2 [0,1] ее ряд Фурье по системе Ф сходится почти всюду на множестве G.

В частности, если выполнено условие

$$L_n(x) < C, x \in [0, 1], n = 1, 2, ...,$$
 (4)

то система Ф является системой сходимости.

Обеспечивает ли условне (4) сходимость почти всюду рядов Фурье из $L^p[0,1]$ (1 $\leqslant p < 2$)?

Отрицательный ответ на данный вопрос был дан А. М. Олевским

(3).
 Теорема А (А. М. Олевский). Существует полная в l. [0, 1] ОНС $\{\varphi_n(x)\}_{n=1}^{\infty}$, имеющая равномерно ограниченные функции Лебега, причем ряд Фурье (2) некоторой функции $f(x) \in L^p[0, 1]$ (1 расходится почти всюду на множеестве <math>[0, 1].

В работе (*) была построена полная ОНС (ПОНС), состоящая из непрерывных функций, для которых имеет место теорема А (см. также (5)).

В 1961 г. П. Л. Ульяновым (см. (6), с. 698; (7), с. 140) была поставлена проблема: "если $\{\varphi_n(x)\}_{n=1}^\infty$ ОНС, удовлетворяющих следующему условию

$$n = 1, 2, ...,$$
 5)

то не справедливо ли равенство

$$\lim_{n\to\infty}L_n\left(x\right)=\infty$$

для некоторых $x \in [0, 1]$ или $x \in E, |E| > 0?$

В 1966 г. А. М. Олевский (см. (в) решил поставлетную выше проблему. Им же была построета (см. (в)), с. 18 – 19) ПОНС $|\phi_n(x)|_{n=1}$, которая удовлетноряет условию (5), и функции Лебега этой системы равномерно ограничены на множестве положительной меры.

Возникает вопрос, если система $|\phi_{-}(x)|_{-1}$ удовлетворяет условиям (3) и (5), то следует ли из этого сходимость почти всюду на множестве (7 рядов Фурье из L^p [0, 1], 1 ?

С помощью приема, примененного К. С. Казаряном (10), строится ПОНС, для которой справедлива следующая

Теорема 1. Пусть (і измеримое множестью положительной меры, 0 < |G| < 1. Тогда существует ПОНС $|\varphi_n(x)|_{n=1}$, удоблетворяющая условию (5), такая, что функции Лебега той системы равномерно ограничены на множестве G, и существует функция $f(x) \in L^p[0,1]$, $1 \le p < 2$, такая, что ее ряд Фурье по данной системе расходится почти всюду.

Ереванский государственный университет

Ա. Ս. ՄԱՐԳՍՅԱՆ

Լեբեցի ֆունկցիաները և հուրլեի ջառքերի տարամիտությունը

հառուցված է լրիվ որինոնորմավորված ֆուսից աների $\Phi = \left[\varphi_n(x) \right]_{n=1}^n$. ամակարդ, որի համար ձիջա՛ է հետևյալ թեորեմը։

p և որ և d 1. Ф համակարգի համար տեղի ունեն (3) և (5) պայմաները և գոյություն ունի $f(x) \in L^p[0, 1]$, $1 \le p < 2$, որի Ֆուբյեի շարքը ըստ Φ ճամակարգի ճամարյա ամենութեք տարամետ է։

ЛИТЕРАТУРА — ЭРВИВОПЬРВВЬЬ

1 H. Lebesque, Leçons sur les sœries "trigonometriques". Paris, 1906. ² С. Качмаж, Г. Штейнгауз, Теория ортогональных рядов, Гостехиздат, М., 1958. ³ А. М. Олевский "Мат. сб., т. 71 (113), с. 297—336 (1986). ⁴ К. С. Казарян, А. С. Саргеян, ДАН АрмССР, т. 83, № 5 (1986). ⁵ R. E. Zink, Proceedings of the American Mathematical Society, v. 97, № 1, МАҮ (1986). ⁶ П. Л. Ульянов. Тр. всесоюзн. мат. съезда, т. 2, Наука, Л., 1964 ⁷ П. Л. Ульянов, УМН, т. 16, № 3, с. 61—42 (1961). ⁸ А. М. Олевскай, Изв. АН СССР. Сер. мат., т. 30, № 2, с. 387—432 (1966). ⁹ А. М. Олевскай, Гоигіег series with respect to general orthogonal systems, Springer-Verlag, 1975. ¹⁰ К. С. Казарян, Мат. сб. 119 (161), № 2 (10) (1982).

Tom 93

1992

No 1

MATEMATHKA

УДК 5197+51262

А А Алексанян, Р К Серобян

Покрытия, связанные с квадратичными над конечным полем уравнениями

(Представлено чл.-корр. АН Армении Ю Г. Шукуряном 3/IV 1991)

Настоящая работа посвящена исследованию следующей задачи о покрытии. Пусть в конечном поле из q элементов F задано квадратичное уравнение с n переменными. Задача состоит в определении наименьшего количества систем линейных над F_q уравнений, объединение множеств решений которых в точности совпадает с множеством решений исходного квадратичного уравнения. Иными словами, требуется оценить длину кратчайшего покрытия множества решений заданного квадратичного уравнения системой смежных классов по линейным над F подпространствам в F^n — n-мерном линейном над F_q простравстве. Для q=2 эта задача решена одним из авторов в $\binom{1-2}{2}$. Ниже исследован случай произвольного q>2.

Авторы следуют терминологии и обозначениям книги (3). Пусть F^{n} — π -мерное линейное пространство над F_{q} .

Определение. Подмножеетво N пространства F_q^n называется смежным классом, если N является сдвигом некоторого линейного подпространства $L \subseteq F_q^n$, т. е. найдется $a \in F_q^n$ тикое, что N = a + L.

Иными словами, N содержит любую аффиниую (или выпуклую) комбинацию своих элементов. Размерность (dim N) определяется как размерность соответствующего линейного подпространства 1.

Очевидно, что всякий смежный класс является множеством решений некоторой системы линейных уравнений. Верно и обратное

Определим η -квадратичный хирактер цоля F_a для $q\equiv 1 \mod 2$.

$$a = 0$$
 (a) $= 0$ 1, если a является квадратом -1 , если a не является квадратом.

Для четного q принимаем соглашение: $\eta = 0$.

Определим функцию v на F, формулой:

$$v(z) = \begin{cases} -1, & \text{если } z = 0 \\ q - 1, & \text{если } z = 0, \end{cases}$$

Пусть |A| обозначает мешность множества A, а Tr_{F} (α) — функцию следа.

Через п обозначим коэффициент Гаусса—количество m-мер-

ных линейных подиространств в Ра. Известно, что (см. (4));

$$\left[\begin{array}{c} n \\ m \end{array} \right]_{q} = \frac{(q^{n}-1)(q^{n-1}-1)\dots(q^{n-m+1}-1)}{(q^{m}-1)(q^{m-1}-1)\dots(q^{m-1}-1)}$$

Покрытия для канонических уравнений. Пусть задано квадратичное над F_{μ} уравнение

$$\sum_{i,j=1}^{n} a_{ij} x_i x_j = b, \tag{1}$$

где левая часть — суть невырожденная кнадратичная форма, а $N = F^*$ — множество решений этего уравнения. Далее приводится метод построения покрытяя множества N системой смежных классов. Ввиду инвариантности длины покрытия (количества смежных классов) относительно действия полной аффинной группы преобразований, в дальнейшем рассматриваются квадратичные уравнения (1) с квадратичной формой, приведенной к каноническому виду (см. например (3). Таким образом, рассмотрению подлежат следующие уравнения:

1. $x_1x_1+x_3x_4+...+x_{4-1}x_4=b$, где n=0 mod 2, a-произвольное;

II. $x_1x_2 + {}^{n}x_3x_4 + ... + x_{n-2}x_{n-1} + ax^2 = b$, где $0 \neq a \in F_q$, n = 1 mod 2, q — произвольное;

III. $x_1x_2 + x_3x_4 + \dots + x_{n-3}x_{n-2} + x_{n-1}^2 + ax_n^2 = b$, right $0 \neq a - F_q$. $n \equiv 0 \mod 2, \ q \equiv 1 \mod 2, \ \tau_1(-a) = -1;$

IV. $x_1x_2 + x_3x_4 + ... + x_{n-1}x_n + x_{n-1}^2 + ax_n^2 = b$, где $0 \neq a \in F_q$, $n \equiv 0 \mod 2$, $q \equiv 0 \mod 2$, $Tr_{P_q}(a) = 1$.

Далее перечисляются покрытия множества решений канонических уравнений. Смежные классы задаются системами линейных уравнении.

Случай І. Пусть k = n/2. Для каждого ненулевого вектора $(a_1, \dots, F_n^k) \in F_n^k$ составим систему

$$\begin{cases} x_{2i} = x_i, & i = 1, \dots, k \\ \sum_{i=1}^{k} a_i x_{2i-1} = b. \end{cases}$$
 (2)

При $b \neq 0$ требуемое покрытие состоит из всех смежных классов вида (2), а при b=0 к ним добввляется система $x_{2i}=0$, $i=1,\ldots,k$.

Длина покрытия L равна $\begin{cases} q^{h}-1, & \text{при } b=0 \\ q^{k}, & \text{при } b=0. \end{cases}$

Случай //. Пусть k = (n-1)/2, $0 \neq (a_1, ..., a_n) \in F$ и $\beta \in F_q$. По-крытие состоит из всех систем вида

$$\begin{aligned}
x_{2i} &= a_i, & i &= 1, \dots, k \\
x_{2k+1} &= \beta. & \\
\sum_{l=1}^{k} x_{2l-1} &= b - a\beta^2
\end{aligned} \tag{3}$$

H

$$\begin{cases} x_{2i} = 0, & i = 1, ..., k \\ x_{2k+1} = \beta, & \text{где } \beta^2 = ba^{-1}, \end{cases}$$
 (4)

вричем системы вида (4) добавляются при $q \equiv 0 \mod 2$ или при $q \equiv 1 \mod 2$ и $\eta(ba^{-1}) \neq -1$.

Длина покрытия L равна $q^{k+1} - q + \eta(ba^{-1}) + 1$.

Случай III. Пусть k=n/2-1, $0\neq (a_1,\dots,a_k)\in F_q^k$ и $\beta,\gamma\in F_q$. Покрытие состоит из всех систем вида:

$$\begin{cases} x_{2i} = \alpha_{i}, & i = 1, ..., k \\ x_{2k+1} = \beta, \\ x_{2k+2} = \gamma, \\ \sum_{i=1}^{k} \alpha_{i} x_{2i-1} = b - \beta^{2} - a \gamma^{2} \end{cases}$$
 (5)

H

$$X_{2i} = 0, \quad i = 1, ..., k$$

$$X_{2k+1} = \beta,$$

$$X_{2k+2} = \gamma.$$
(6)

где для β и γ выполнено $\beta^3 + \alpha \gamma^2 = b$. Длина покрытия равна $L = q^{a+2} - q^2 + q - v(b)$.

Случай IV. Пусть k=n/2, $C \neq (\alpha_1, ..., \alpha_{n-1}) \in F^{n-1}$ и β , $\gamma \in F$. Покрытие состоит из всех систем вида:

$$\begin{cases} x_{2i} = a_i, & i = 1, ..., k-1 \\ x_{2k-1} = \beta, \\ x_{2k} = \gamma, \\ \sum_{i=1}^{k-1} a_i x_{2i-1} = b + \beta \gamma + \beta^2 + a \gamma^2 \end{cases}$$
 (7)

35

$$\begin{cases} x_{2l} = 0, & l = 1, ..., k - 1 \\ x_{2k-1} = \beta, & (8) \\ x_{2k} = \gamma, & (8) \end{cases}$$

где для β и γ выполнено $\beta\gamma + \beta^2 + a\gamma^2 = b$. Дляна покрытия равна $L = q^{k+1} - q^2 + q - v(b)$.

Основная теорема. Пусть L(n,q) — наименьшая длина покрытия множества N решений квадратичного уравнения, а m(n,q) — наибольшая размерность смежного класса, содержащегося в N. Тогда

в случае 1:

$$m(n,q) = \begin{cases} n/2 - 1, & \text{при } b \neq 0 \\ n/2, & \text{при } b = 0, \end{cases}$$

 $L(n,q)=q^{n/2}-1$ при $b\neq 0$ и $q^{n/2-1}+1-q^{-1} \leq L(n,q) \leq q^{n/2};$ в случае!!:

$$m(n, q) = (n-1)/2 + \eta(1-\eta)/2$$

 $q^{\eta(\eta-1)/2}(q^{(n-1)/2}+\eta) \leqslant L(n,q) \leqslant q^{(n+1)/2}-q+\eta+1$, где $\equiv \eta(ba^{-1})$, в частности, при $q\equiv 1 \mod 2$ и $\eta=-1$ имеем:

$$L(n, q) = q^{(n+1)/2} - q$$

в случаях III и IV

$$m(n,q) = n|2-1$$
 $m(q^{n/2}-v(b) \le L(n,q) \le q^{n/2+1}-q^2+q-v(b)$.

Верхние оценки для L(n, q) получаются покрытиями из предыдущего пункта. Следует отметить, что количество смежных классов размерности m(n, q), целиком содержащихся в N, может быть точно вычислено Например, в случае I получается формула

для $b \neq 0$

$$\sum_{p=0}^{k-1} {k \brack p+1}_q (q^{p+1}-1)q$$
 при $q>2$ и

$$\sum_{p=0}^{k-1} {k \brack p+1}_q (q^{p+1}-1) q^{\frac{(k-p-1)(k-p+2)}{2}} \quad \text{ uph } q=2;$$

для b=0

$$\sum_{p=0}^{k} \begin{vmatrix} k \\ p \end{vmatrix}_{q} q^{\frac{(k-p)(k-p-1)}{2}}$$
 при $q > 2$ н

$$1 + \sum_{p=0}^{k-1} {k \brack p}_q q^{\frac{(k-p-1)(k-p+2)}{2}}$$
 при $q=2$. Здесь $k=n/2$.

Во всех случанх I-IV получаются величины порядка $q^{(1+o(1))n^3/8}$.

Греванский государственный университет

Ա. Ա. ԱԼԵՔՍԱՆՅԱՆ, Ռ. Կ. ՍԵՐՈՐՅԱՆ

Վեrջավու դաշտում քառակուսային ճավասաւումների նետ կապված ծածկույթնեւ

'իրցուր F_{ij} վետջավոր դաշտում տրված է R_{ij} փոփոխականից կախված $\sum_{j=1}^{n} a_{ij} x_{ij} x_{j} = b$ համասարումը։ Արիատանքում քանակը, որոնց լուծումանիր միավորումը համընկնում է քառակուսային համասարման լուծումների քազմության հետ։

ЛИТЕРАТУРА — ЧРИЧИЕЛЬРВЯКЪ

1 А. А. Алексанян Дизъюнктивные нормальные формы над линейными функциями, Изд. ЕГУ. 1990. 2 А. А. Алексанян ДАН СССР, т. 304, № 4, с. 781—784 (1989). 3 Р. Лида. Г. Нидеррайтер, Конечные поля (в 2-х томах), Мир М, 1988. 4 М. Айгнер Комбинаторчая теория, Мир. М., 1982.

The state of the s

TOM 93

1992

No 1

МАТЕМАТИКА

УДК 517 946.8

А А Андрян

Граничные задачи в двугранных углах для уравнений в частных производных, не разрешенных относительно старшей производной

(Представлено чл корр АН Армении А Б Нерсесяном 12/IV 1991 г.)

Пусть $\pi_* = \{t \mid 0 < \text{arg } t < \alpha < \pi \}$, а $u(x, t) \in C^m$ аналитическая функция по $t \in \pi_*$. Введем класс функций

$$M = \{u(x, t) | |D_x^j D_t^k u(x, t)| < C_{jk} (1 + |x|)^{\beta_{jk}} (1 + |t|)^{\gamma_{jk}},$$

$$(x, t) \in \mathbb{R} \times \mathbb{R}.$$
(1)

Ісли в (1) число — β не вависит от J, k и μ , то соответствующий класс обозначим через M_{β} , а если более того $u \in M_{\beta}$ не зависит от t, то соответствующий класс обозначим через N_{β} .

В двугранной области $R \times \pi$ рассмотрим уравнение вида

$$\sum_{i=0}^{n} a_{i} \left(i \frac{\partial}{\partial x} \right) \frac{\partial^{n-j} u(x, t)}{\partial t^{n-j}} = f(x, t), \tag{1}$$

где $a_{j}(\xi)$ волиномы от ξ с постоянными коэффициентами, причем $a_{0}(0)=0$, $a_{0}(\xi)\neq 0$ — $\sum |a_{j}(\xi)|^{2}\neq 0$ — мекомая, а $f\in M_{\theta}$ — заданная функция. Корин характеристического уравнемия

$$P_{-}(\xi, L) = a_{0}(\xi)\lambda^{n} + a_{1}(\xi)\lambda^{n-1} + ... + a_{n}(\xi) = 0$$
 (3)

с учетом их кратиостей обозначим через λ_1 (ξ), ..., λ_n (ξ).

1. Предположим, что
$$I_{r}(\xi) \in \overline{\Xi} = \left\{ t \mid \frac{\pi}{2} \leqslant \arg t \leqslant \frac{3}{2} \pi - a \right\} \forall \xi \neq 0.$$

Граничная задача А. Требуется найти решение и $\in M$ уравнения (2), удовлетворяющее условиям

$$D/u(x, 0) = f_j(x), j = 0, 1, ..., n-1,$$
 (4)

где f ∈ N₃ — заданные функции.

Исследование задачи А. Будем следовать схеме в (1). Рассмотрим задачу Коши для обыкновенного дифференциального уравнения с параметром

111

$$a_0(\xi) - \frac{d^n V_j(\xi, t)}{dt^n} + a_1(\xi) - \frac{d^{n-1} V_j(\xi, t)}{dt^{n-1}} + ... + a_n(\xi) V_j(\xi, t) = 0, (5)$$

$$D_{l}V_{l}(0) = \delta_{l}^{l}, \quad l = 0, ..., n-1,$$
 (6)

где $V_j(z,t)$ — амалитычна по $t\in z$, степенного роста, δt — симвел Кронекера, $j=0,\ldots,n-1$.

Имсет место

Лемма 1. Функция $V \in C^-$ ү $\xi \neq 0$ и удовлетноряет оценкам

$$|D^{n}D^{n}V_{n}(\xi,t)| \leq c_{n}|\xi|^{-m_{kl}} (1+|\xi|)^{n_{kl}} (1+|t|)^{n_{kl}}, \qquad (7)$$

$$m_{kl}, n_{kl}, r_{kl} \geq 0.$$

Доказательство. Как известно (2), $V_{*}(2, 1)$ представляется в виде

$$V_{j}(\xi, t) = \frac{1}{2\pi i} \int_{\gamma(\xi)} \frac{a_{0}(\xi)\lambda^{n-j-1} + a_{1}(\xi)\lambda^{n-j-2} + ... + a_{n-j-1}(\xi)}{P_{n}(\xi, \lambda)} \times \exp(\lambda t) d\lambda, \quad \xi \neq 0,$$
(8)

где $\gamma(\xi)$ — замкнутый контур, содержащий внутри себя все корни полинома $P_n(\xi, \cdot)$ Пусть $\delta > 0$ такое, что в области $0 < |\xi| < \delta$ кратность корней уравнения (3) постоянна. В области $|\xi| > \delta$ неравенство (7) докавано в (3). В области же $0 < |\xi| < \delta$, вычисляя (8) по теореме о вычетах, получим (7), если вспомнить, что в окрестности точки $\xi = 0$ корень λ (ξ) разлагается в ряд Пюнзе вида

$$N_0 \geqslant 0, \quad r_j \in N.$$

Пусть 1 такое, что функция $w_j(\varepsilon, t) = \varepsilon^n$ (ε, t) дифференцируема по ε достаточное число раз. Тогда для прообраза Фурье $w_j(x, t)$ функции $w_j(\varepsilon, t)/(1+\varepsilon^2)^n$, $v\gg 1$, будем яметь

$$|a_j(x,t)| < \text{const} \frac{(1+|t|)^{\beta_j}}{(1+|x|)^{\beta+2}}$$

Частное решение $u_0(x, t)$ задачи A вначале построим, когда правые части в (2) и (4) имеют вид (x, t), $D^{\mu}f_{\mu}(x)$, $f=0, \ldots, n-1$. Следуя (1) это решение заяншется в форме

$$u_0(x, t) = \sum_{j=0}^{n-1} \omega_j(x, t) \circ g_j(x) + \int_0^t \omega_{n-1}(x, t-1) \circ g_j(x, 1) d\tau, \quad t \in \tau_1,$$

$$g_{f}(x) = \left(1 - \frac{d^{2}}{dx^{2}}\right) f_{f}(x), \quad g(x, t) = \left(1 - \frac{d^{2}}{dx^{2}}\right) f(x, t).$$

Пусть $u_1 \in M$ решение уравнения $D_x^* u_1(x, t) = u_0(x, t)$, а u(x, t) решение задачи A в общем случае, тогда их разность $w(x, t) = u_1(x, t) - u(x, t)$ удовлетворяет уравнению

$$P_n\left(i\frac{\partial}{\partial x}, \frac{\partial}{\partial t}\right)w(x, t) = \sum_{j=0}^{p-1} a_j(t)x^j$$
 (9)

и граничным условиям

$$D_i' w(x, 0) = \sum_{i=0}^{n} b_{ii}' x^{ii}, \quad j = 0, ..., n-1.$$
 (10)

где
$$a_{j}(t) = \frac{1}{j!} \frac{\partial^{j}}{\partial x^{j}} \left(P_{n} \left(i \frac{\partial}{\partial x} + \frac{\partial}{\partial t} \right) u_{1} - f \right) \Big|_{t=1}, \quad b'_{t} = \text{вполне опре-}$$

деленные постоянные числа.

Псмма 2. Однородная задача (9), 10) имеет только нулевые решение, а для разрешимости неоднородной задичи необходимо и до статочно выполнение конечного числа условий.

Доказательство. Переходя в (9) и (10) к образам Фурье, нетрудко заметить, что $F[w](\mathfrak{k})$ сосредоточен в нуле, поэтому

$$\pi_{i}(x, t) = \sum_{l=0}^{\infty} c_{i}(l) x^{i},$$
 (11)

где (,(t) англитические по t = = функции степенного роста.

Подставив $\mathbf{w}(x, t)$ из (11) в (9) и (10) и приравнивая коэффициенты при одинаковых степенях x, получим $c_j(t) \equiv 0$. $J \geq \mathbf{u}$. Для $c_{j+1}(t)$ имеем

$$P_{n}\left(0, \frac{d}{dt}\right)c_{n-1}(t) = a_{n-1}(t), \quad t \in \tau_{n}, \tag{12}$$

$$D_t^{j} c_{p-1}(0) = b_{p-1}^{j}, \quad j = 0, \dots, n-1.$$
 (13)

Из $a_0(0)=0$ следует, что оператор $P_n(0,-\frac{1}{dt})$ имеет порядок, меньший n, отсюда утверждение леммы 2 (им. лемму 3). Продолжая процесс для $a_{n-2}(t),\ldots,$ () получим лемму 2.

Таким образом получена

Теорема. Однородная граничная задача A и чест только трибиальное решение. Для разрешимости неоднородной задачи A необходимо и достаточно, чтобы функции $f(x, t), f_0(x), \dots, f_{n-1}(x)$ удовлетворяла конечному числу условий ортогональности

Теперь рассмотрим случай, когда корпи характеристического уравнения (3) не принадлежат π_a для $\forall t \in \mathcal{R}$. В этом случае мы по-кажем, что веоднородное уравнение (2) разрешимо для $\forall f$. Имеет место

Лемма 3. Уравнение

$$\frac{du(t)}{dt} \cdot u(t) = f(t), \quad t \in \pi_a, \quad \lambda \in \pi_a, \quad (14)$$

в классе аналитических функций степенного роста имеет единственное решение для у f.

Лемму 3 нетрудно доказать, интегрируя уравнение (14) стандарт ным образом, при этом оказывается, что формула решения зависит от положения числа λ . Приведем единую формулу решения в образах Лапласа для ук. Не ограничивая общность, мы можем считать, что f(0) = 0 у f(x) полином $f(0) + tf'(0) + ... + \frac{1}{r!} f(0)$ (0). Пусть f(p) и f(p) — преобразования Лапласа граничиых значений f(p) и f(p) на ураничиых значений f(p) и f(p) на ураничиых значений f(p) на ураничи f

$$F_1(p) = \exp(ia) F_2(\exp(ia)), \quad \arg p = -\frac{a}{2}$$
 (15)

113 (15) вытекает, что $F_1(p)$ вналитически продолжается в область $\pi = \kappa_{\pi}^2 -$ дополнение к — Искомая формула решения уравнения (14) имеет вид

$$u(t) = \frac{1}{2\pi i} \int \frac{\exp(\rho t)}{\rho - h} F_1(\rho) d\rho, \qquad (16)$$

где Γ_* — ломаная с вершиной на действительной оси на расстоянин $\varepsilon > 0$ от начала координат, параллельная границе Γ области π^* . Образ Лапласа аналитической функции $g(t) = f(t) \cdot (1+t^2)^{-\epsilon}$, $q \gg 1$ удовлетворяет оцевке $|G(p)| \leq \text{cte}(1+|p|)^{-\epsilon}$, $p \in \pi - \pi^*$. Это позволяет формулу (16) передисать в виде

$$u(t) = \frac{1}{2\pi i} \int G(p) \left(1 - \frac{d^2}{dp^2}\right)^q \left(\frac{\exp(p+t)}{p-h}\right) dp.$$

Рассмотрим функцию

$$q(x, p, t) = \frac{1}{2\pi} \int \left(1 - \frac{d^2}{dp^2}\right)^q \left[\frac{\xi^{\mu} \exp\left(-ix\xi + pt\right)}{P_n(\xi, p)\left(1 + \xi^2\right)^k}\right] d\xi,$$

$$k \gg 1, \quad \mu \gg 1, \quad p \in \Gamma.$$

что в свою очередь приводит к |q(x, p, t)| сte $(1 - |t| + |p|)^T$. $\times (1 + |x|)^{-1}$. Окончательно формула решения уравнения (2) в случае пригой части $D_x^p f(x, t)$ принимает вид

$$u(x, t) = \frac{1}{2\pi i} \int_{\Gamma} q(x, p, t) * \left(1 - \frac{o^2}{\sigma x^2}\right)^* Q(x, p) dp,$$

где Q(x, p) = образ Лапласа функции $\left(1 - \frac{\partial^2}{\partial x^2}\right)^n D_x f(x, t)$ $\times (1 + t^2)^{-q}$.

В случае произвольной правон части в (2) вопрос разрешимости. как и выше, сводится к разрешимости уравнения вида

$$P_{n}\left(0, \frac{d}{dt}\right)v(t) = a(t),$$

которое, в силу леммы 3, имеет единственное решение.

Замечание. Если предположить, что хотя бы один корень характеристического уравнения $P_n(0,\lambda)=0$ лежит в области π , то в этом случае неоднородное уравнение (2) разрешимо, в однородное уравнение допускает бесконечно много линсйно независимых решений. Положение в ожно исправить, например, следующим образом. Пусть k — краслость пуля многочлена $a_0(\mathfrak{c})$. Правую часть в (2) предположим из класса M_5 с $\beta < 0$, а решение u(x,t) будем искать в классе M_4 . Тогда можно доказать, что неоднородное уравнение (2) всегда имеет решение, в однородное уравнение имеет конечное число линейно независимых решений. Отметим также, что общий случай оператора $P_n\left(i\frac{\partial}{\partial x}+\frac{\partial}{\partial t}\right)$ когда часть корией характеристического уравнения (3) лежит в π^* у $\mathfrak{e}=0$, а другая часть лежит впе π , может быть исследована сведением к композиции ра смотренных случаев.

В заключение отметим, что амалогичные результаты справед нявы и для системы вида

$$A\left(i\frac{\partial}{\partial x}\right)\frac{\partial u}{\partial t}=B\left(i\frac{\partial}{\partial x}\right)u+f.$$

где $A(\xi)$, $B(\xi)$ — квадратные полиномнальные магрицы с постоянными коэффициентами в предположении, что $\det(\lambda A(\xi) - B(\xi)) \equiv 0$ ξ .

3. В качестве иллюстрации результата из пункта 1 приведем пример. Во введенных классах функций рассмотрим дифференциальное уравнение вида

1 - 2 - 1

$$\frac{\partial^2}{\partial x^2} \left(\frac{\partial u(x, t)}{\partial t} \right) - u(x, t) = f(t), \tag{17}$$

для которого $\lambda(\xi) = \frac{1}{\xi}$ принадлежит $\pi^* \, \forall \xi = 0$. Начильное условие (4) возьмем в виде u(x, 0) = 0. Начальное условие и уравнение (17) после применения преобразования Фурье примут вид

$$-\xi^{2} - \frac{d}{dt} u(\xi, t) - u(\xi, t) = f(t) \delta(\xi), \qquad u(\xi, 0) = 0,$$

откуда легко выводится, что u(t,t) = 0 то 0. Гем самым u(t,t) сосредоточен в нуле и потому имеет вид $\widehat{u}(t,t) = \sum_{t=0}^{N} c_{x}(t) \delta^{(t)}(t)$. Отсюда $u(x,t) = \sum_{t=0}^{N} c_{x}(t) (tx)^{t}$; подставив это в уравнение (17), легко получить u(x,t) = -f(t). Таким образом, для корректности рассмотренного примера необходимо и достаточно, чтобы f(0) = 0.

Ереванский политехнический институт

և. Ա. ԱՆԴՐՅԱՆ

նզբային խնդիբներ երկնիստ անկյուններում բարձր կարգի ամանցյալի նկատմամբ չլուծված մասնակի ածանցյալներով հավասարման համար

Thym.
$$p = |t| 0 < \operatorname{argt} < a < \pi|, \quad \pi' = \left| t \left| \frac{\pi}{2} < \operatorname{argt} < \frac{3}{2} \pi - a \right|,$$

անալիտիկ է ըստ t ∈ π, և անվերջում աճում է դանդաղ. R×π, տիրալխում դիտարկվում է հետևլալ հավասարումը՝

$$\sum_{j=0}^{n} a_{j} \left(i \frac{\partial}{\partial x} \right) \frac{\partial^{n-j} u(x, t)}{\partial t^{n-j}} = f(x, t), \tag{1}$$

որտեղ a, (:) — հաստատան գործակիցներով բազմանդամ է է-ից,

$$a_0(0) = 0$$
, $a_0(\xi) \neq 0 \ \forall \xi \neq 0$, $\sum_{j=0}^n |a_j(\xi)|^2 = 0 \ \forall \xi \in \mathbb{R}$.

են արտելով, որ $i_1(\xi), ..., i_m(\xi) \in \pi_{\epsilon}^*$ $\forall \xi \neq 0$, իսկ $i_{m+1}(\xi), ..., i_n(\xi) \in \pi_{\epsilon}^*$ $\forall \xi \neq 0$, որտեղ $i_{\tau}(\xi)$ (1) հավասարման ընութադրիչ արմասն է, (1) հավա-սարման համար դիտարկվում է Կոշու տիպի խնդիր:

ЛИТЕРАТУРА — ЧРЦЧЦСПЪР В ОЪЪ

С. Мизохата, Теория уравнений с частными производными, Мир, М., 1977. - В. Л. Солонников, Тр. мат. нн-та им. В. А. Стеклова, т. 83, Наука, М. (1965). З А. А. Андрян, Расширенные заседания семинара им. И. Н. Векуа, Тбилиси, 1990

Том 93

1992

No 1

ВИЧИСЛИТЕЛЬНАЯ МАТЕМАТИКА

УДК 51961

Член-корреспондент АН Армении А. Б. Нерсесян, Г. В Агекян

Векторизованные алгоритмы решения систем с матрицами теплицева типа

(Представлено 9/IV 1991)

Применение многопроцессорных систем является одним из глав ных направлений повышения производительности ЭВМ. З связи с этим особое значение придается векторизации (распараллеливанию) известных последовательных алгоритмов решения конкретных задач. В качестве первого шага естественно осуществить «абстрактное» распараллеливание, когда не ограничивается число процессоров, синхронизируется счет и не учитываются потери на пересылку данных.

Условимся считать, что алгоритм решения данной задачи, определяемой входными данными в виде $(n \times n)$ -матрицы, допускает эффективную векторизацию (линейное ускорение счета) при применении p = p(n) процессоров, если независимо от n реализуема оценка $p \in \mathbb{R}$ сопѕитде через вобозначено время обсчета (число тактов) на k процессорах. Для определенности в дальнейшем учитываются только мультинликативные операции.

Классические влгоритмы решения задач линейной алгебры, как правило, эффективно векторизуемы (см. ($^{1, 2}$)). Так, алгоритм решения системы с иевырожденной ($n \times n$)-матрицей $A_n = \|a_{ij}\|$, i, j = 1, 2, ..., n по методу Гаусса требует выполнения $n^2/3 + O(n^2)$, ($n \to \infty$) умножений, а его векторизованный вариант (метод Гаусса— Жордана) может быть обсчитан на $p = n^2$ процессорах за 2n тактов. Решение той же системы методом ортогональных разложений распараллеливается уже непросто и здесь при счете на 3/2 n^2 -n процессорах требуется 7n-10 тактов (см. (3)).

В случае теплинствой матрицы $A = T_n - |t_{l-j}|$, l = 1, 2, ..., n алгоритм Левинсона—Тренча (см. (**) нозволяет решить систему посредством $3n^2 + O(n)$ умножений, а пр менение 6n процессоров коряет счет в 3n раз (n тактов). К ссжалению, эти отличные характристики получены при условии невырожденности всех ведущих подматриц T_k , $\kappa = 1.2,..., n$. В го же время неудобны для распараллеливания модификации этого подхода, основанные на «прыжках» через нулствые миноры $\{T_k\}$, $k \le n-1$ и реагирующие на их расположение изменением структуры операций (см. $\binom{5}{5}$).

STREET STREET STREET

В последнее время были разработаны несколько менее быстрые, но пригодные для обращения теплицевых матриц общего вида методы. Алгоритмы работ $(^{1,8})$ требуют выполнения соответствению порядка $25n^2$ и $19n^2$ операций, однако они оказались неустойчивыми $(^{9,-10})$. Алгоритм работы $(^{11})$ $(19.5n^2$ операций) устойчив, но дополнительно требует невырожденности T_{n-1} . Хорошими вычислительными качествами обладает метод обращения ортогонального разложения предложенный Γ . Цибенко $(23n^2)$ операций $(^{12,-12})$.

В случае блочно-теплицевой матрицы и более общей матрицы малого теплицева ранга $T_{n,k}^l = \|a_n\|_{L^1}^l$, состоящей из $(l \times l)$ блоков $a_{l,l}$, удовлетворяющих соотношению

$$a_{i+1,j+1} - a_{ij} = \sum_{m=1}^{k} c_{mi} d_{mj}, \quad i, j = 1, 2, ..., n-1,$$
 (1)

алгоритм Г. Цибенко был обобщен в работе (¹⁴) на основе блочнооргогопального разложения. Вычислительный эксперимент на ряде тестовых матриц подтвердил хорошие характеристики этого метода.

Как будет показано ниже, алгоритмы (12, 14) эффективно распараллеливаются.

1°. Остановимся на случае невырожденной блочно-теплицевой матрицы $I_n = T_n^l = 1, \dots, n$, состоящей из $(l \times l)$ -блоков l_k , $|k| \leqslant n-1$. Отметим, что (см. (4)) уравнение с матрицей T_{n-k}^l сводится к уравнению с $T_{n-k}^{l_1}$, где $l_1 = l(k+1)$, одиако это сведение не всегда рационально (см. также ниже, п. 3°).

Решение уравнения $T_n^I x = b$ может быть получено посредством операций следующего последовательного алгоритмя (14):

$$q_1 = t$$
, $f_1 = 0$, $\beta_1^s = 0$ $(s = 2, 3)$ $\beta_1^l = \rho_1$, $u_1 = [q_1, q_1]^{-1}$
 $f_1^l = q_1$, $\rho_1 = 0$, $\rho_{11} = E$, $a_1 = [q_1, b]$, $a_1 = \rho_1 u_1 u_1$

: MAIN LOOP:

For
$$j=2$$
 to n do

$$y_{j}^{2} = -u_{1}[q_{1}, zq_{j-1}]$$

$$y_{j}^{2} = q_{2n-1, j-1}$$

$$y_{j}^{3} = -q_{n-1, j-1}$$

$$q_{j}^{i} = 2q_{j-1} + \sum_{s=1}^{3} f_{j-1}^{s} y_{j}^{s}$$

$$q_{j}^{i} = 2q_{j-1} + \sum_{s=1}^{3} 3^{s}$$

$$u_{j}^{i} = [q_{j}, q_{j}]$$

$$u_{j}^{i} = [q_{j}, b]$$

$$x_{j} = x_{j-1} + \rho_{j} u_{j} a_{j}$$

$$v_{j}^{1} = -[z^{j-1} t, f_{j-1}^{1}]$$

$$v_{j}^{2} = q_{2n, j}^{*}$$

$$v_{j}^{3} = (q_{nj} - t_{0} \rho_{1j})^{*}$$

$$f_{j}^{s} = f_{j-1}^{s} + q_{j} u_{j} v_{j}^{s}, \quad s = 1, 2, 3$$

$$\beta_{j}^{s} = \beta_{j-1}^{s} + \rho_{j} u_{j} v_{j}^{s}, \quad s = 1, 2, 3$$
END

Здесь приняты следующие обозначения

$$t = \begin{bmatrix} t''_{-n+1}, t''_{-n+2}, \dots, t''_{-1}, t_0 & t_0 & 0, 0, \dots, 0 \end{bmatrix}''$$

$$= \begin{bmatrix} 0 & 0 & \dots & 0 & E_t \\ E_t & 0 & \dots & 0 & 0 \end{bmatrix} \qquad W = \text{diag} \begin{bmatrix} 0 & \dots & 0, & 1, & 1, & \dots, & 1 \\ 0 & 0 & \dots & E_t & 0 \end{bmatrix} \qquad \begin{bmatrix} t_t & t_t & t_t & t_t & t_t \\ t_t & t_t & t_t & t_t & t_t & t_t \end{bmatrix} \qquad \begin{bmatrix} t_t & t_t & t_t & t_t \\ t_t & t_t & t_t & t_t & t_t \end{bmatrix}$$

Отметим, что матрицы l, q_j , f^s (j=1,2,..., s=1,2,3)-имеют размерность (3n-2) l=l, а p, l, (j=1,2,..., s=1,2,3)- $nl \times l$.

 2° . Главным препятствием для эффективной векторизации является наличие в этом алгоритме "длинных" матричных (при l=1- скалярных) произведений при $l \geq 2$. Что же касается произведений $v^{\dagger} = -\{2^{-1}, 1^{\dagger}, 1^{\dagger}\}$. То их можно исключить, исходя из соотношений $v^{\dagger} = \rho_{1}^{\bullet}, \{1, t\}$.

Обозначим теперь

$$\mathbf{v}_{ij}^{t} = [q_{1}, z^{i}f_{j}^{t}]; \quad \mathbf{w}_{ij}^{t} = [z^{i}q_{1}, f_{j}^{t}]; \quad \mathbf{v}_{ij}^{t} = [z^{i}f_{j}, b], \quad s = 1, 2, 3$$

$$\mathbf{v}_{ij}^{t} = [q_{1}, z^{i}q_{j}], \quad \mathbf{w}_{ij}^{t} = [z^{i}q_{1}, q_{j}], \quad \mathbf{v}_{ij}^{t} = [z^{i}q_{j}, b]. \quad (2)$$

Имеем

$$y_j^1 = -u_i v_{i,j-1}^4, \quad [q_j, q_j] = \rho_{jj}^* u_{j-1,j}^4, \quad a_j = \tau_{0j}^4.$$

Векторизация основана на следующих формулах:

$$v_{ij}^{s} = v_{i+1, j-1}^{s} + \sum_{s=1}^{n} v_{i, j-1}^{s} y_{j}^{s}, \quad i = 1, 2, ..., n-j+1;$$

$$\omega_{ij}^{s} = \omega_{i+1, j-1}^{s} + q_{n-i, 1}^{s} q_{n-1, j-1} - q_{2n-i, 1}^{s} q_{2n-1, j-1} + \sum_{s=1}^{3} \omega_{i, j-1}^{s} y_{j}^{s}, \quad i = j-1, j, ..., n-1;$$

$$i = j-1, j, ..., n-1;$$

$$i = j-1, j, ..., n-1;$$

$$v_{ij}^{s} = v_{i+1, j-1}^{s} + \sum_{s=1}^{3} y_{j}^{s} \tau_{i, j-1}^{s}, \quad i = 0, 1, ..., n-j;$$

$$v_{ij}^{s} = w_{i, j-1}^{s} + v_{ij}^{4} u_{j} v_{j}^{s}, \quad s = 1, 2, 3; \quad i = 1, 2, ..., n+1-j;$$

$$v_{ij}^{s} = w_{i, j-1}^{s} + \omega_{ij}^{4} u_{j} v_{j}, \quad s = 1, 2, 3; \quad i = j, j+1, ..., n;$$

$$\tau_{ij}^{s} = v_{i, j-1}^{s} + v_{ij}^{s} u_{j}^{s} v_{ij}^{s}, \quad s = 1, 2, 3; \quad i = 0, 1, ..., n-j.$$

На первом этапе необходимо (при l=1) вычислить 2n+1 матричных произведений ω_1^4 ($l=0,1,\ldots,n-1$) и для этого можно задействовать максимальное количество процессоров на соответствующую серию тактов. Поскольку матрицы u_l положительно определены, для вычисления u_l^{-1} можно применить схему Гаусса—Жордана и при наличии l^2 процессоров произвести 2l тактов.

3°. Приводимая таблица содержит основные характеристики обсуждаемых алгоритмов.

Задача	процессоров	Память	Число тактов
T., 1	1	17 <i>n</i>	24,5n-
Tx = b	72	29n	55 <i>n</i>
	1	17 <i>nl</i> ²	2013/12 4- 1.51-112
$T^{l} x = b$	l^2n	29nt²	42nl + 121
	1	$17l^{2}(k+1)-n$	$20l^{3}(k+1)^{3}n^{2}+1,^{5}l^{2}(k+1)^{2}n^{2}$
$T_{R}^{l} = b \cdot a$	$l^{2}(k+1)-n$	$29l^{2}(k+1)^{2}n$	42l(k+1)n+12n
$T_k^l x - b, \delta)$	1	$(4k^2 + 12k + 12)l^2n$	$(8k-24k-12) l^3n^2+1$
	1 ³ n	$(1+2k) l^2n^2$	$(13z^2 + 42k + 25) ln + 17n$

В первой графе через T обозначена скалярная теплицева $(n \times n)$ -матрица, далее через T^l $(l \ge 2)$ — блочно-теплицева $(nl \times nl)$ -матрица с $(l \times l)$ -блоками, а через T_k^l — $(nl \times nl)$ -матрица, удовлетво-ряющая условию (1). Решению уравнения с невырожденной матрицей последнего типа сведением T_k^l к блочно-теплицевому виду T^l , $l_1 = (k+1)l$ (см. п. 1°) соответствует предпоследняя строка а), а последняя строка б) относится к случаю непосредственной векторизации алгоритма работы (1^4) для матриц типа (1°) общего вида. Эта векторизация может быть проведена совершенно аналогично n. 2° , и здесь мы на изложении этого не остановились не только из-за громоздкости формул. но и (главным образом) потому, что (см. таблицу) нам нока что не удалось освободиться от слишком (по сравнению с а)) большого объема памяти, хотя остальные характеристики в этом случае предночтительней.

Отметим, что векторизация в изучаемых случаях не могла быть проведена по схеме Т-алгоритмов, предложенной в (⁵), поскольку нам не удалось преобразовать исходные алгоритмы к требуемому для этого виду.

В таблице приведены результаты распараллеливания на оптимальном, в пределенном смысле, количестве процессоров (ссли иметь в виду линейное ускорение и устойчивый счет), однако нетрудно использовать меньшее (большее) количество процессоров, соответственно усложнив (упростив) их функции. Это может оказаться полезным при практической реализации схемы на систолических массивах, когда необходимо найти разумный компромисс между сложностью функций каждого процессора и сложностью межпроцессорных связей (см. (2)).

4. Остановимся теперь на использовании результатов с целью быстрого решения интегральных уравнений со скалярным разностным ядром K = K(x -- t)

$$(yJ - K)y - \mu y(x) - \int_{0}^{1} K(x - t)y(t)dt = f(x),$$
 (4)

где $K \in C^p([0,1] \times [0,1]), f \in C^p([0,1]), p > 1, p = const.$

В случае уравнения второго рода (p = 1), если оператор J - K обратим в C([0,1]), квадратурные формулы порядка $p(p \geq 1)$ сводят задачу приблаженного решения уравнения (4) к решению системы с матриней $T_{j}(l-p)$ при ошибке порядка $O(h^{p})$ (h - длина максимального интервала дискретизации). Таким образом, при достаточно гладком ядре K эффективен именно алгориты п. 1° или его приведенный в n. 2° распараллеленный вариант

В случае уравнения первого рода ($\mu = 0$) необходимо, как известно, провести регуляризацию. Пусть, например, существогание и единственность решения y(x) обеспечены. Тогда при достаточно малом $\epsilon > 0$ приближенным можно считать решение уравнения (см. (15))

$$\varepsilon y + K^* K y = K^* f. \tag{5}$$

где K^* — сопряженный к K оператог. Заметим, что ядро оператора KK^* (обозначим его через $K_1(x, t)$) удовлетворяет соотношению

$$\left(\frac{\partial}{\partial x} + \frac{\partial}{\partial t}\right) K_1(x, t) + \left|K(s - x)K(s - t)\right|_{s = 0}^{s - 1} = 0.$$
 (6)

Отсюда следует, что дискретизация уравнения (5) сводит его решение к решению алгебранческой системы с матрицей 7 вида (1). Таким образом, и в этом случае работают последовательные или параллельные алгоритмы, изученные выше (см. также (14)).

В случае матричного ядра в уравнении (4) ситуация вполне аналогична

Институт математики Академии наук Армении

Հայաստանի ԳԱ բղբակից անդամ Հ. Բ. ՆԵՐՍԻՍՅԱՆ, Գ. Ո. ԱՂԵԿՅԱՆ

Տյոպլիցյան տիպի մաաբիցներով ճամակարգերի լուծման վեկտորացված ալգորիթմներ

Հուծվում է ('-^{, 14}) աշխատանքներում մշակված ալգորինմների վեկտորացման (զուգահեռացման) խնդիրը, որը ապահովում է աբագ հաշվարկ

Աշխատանքում թերված են համապատասխան ալգորիքմների բնութա-

գրիչները։

Արդյունըները օգտապար են նաև ինտեդրալ հավասարումների մոտավոր յուծման համար։

ЛИТЕРАТУРА — ЧРИЧИЪПЪРЗПРЪ

1 В Н Фаддеева, Д. К Фаддеев, Кносрнетика, № 6, с 28-40 1977. № 3, с 18—31 1962 2 В В Воеводии, Математические модели и методы и параллельных процессах. Наука. М., 1986. А Н. Sameh, D. J. Kuck. 1 Assoc. Comput., Mach., v. 25. № 1, р. 81—91 (1978). В В Воеводии, Е Е. Тыртышников, и ки. Вычислительные процессы и системы, вып. 1, Наука, М., с 124—267—1983. Б. В. Воеводии, Е Е. Тыртышников, Вычислительные процессы с теплицевыми матрицами Наука, М., 1987. G. Heintg. Wissensch. Zeitschrift d TH Karl-Marx-Stadt v. 25, № 3, р. 326—333, (1983). D. R. Sweet, Numer. Math., v. 43. р. 1—21 (1984). А W Војапскук, R. P. Brent. F. R. De Hoog. Numer. Math., v. 49. р. 81—94 (1986). Г. Т. Luk. S. Qiao., J. Lenear Algebra Appl., v. 88/89, р. 495—506 (1987). Г. С. W. Stewart, I. Inst. Math. Appl., v. 23, р. 203—213 (1979). Г. Sanzheng Qiao., Numer. Маth., v. 53, р. 351—366 (1988). Г. G. Cybenko, Siam. J. Sci. Stat. Comput., v. 8, № 5, р. 734—740 (1987). Г. G. Суbenko, ВІТ, 24, р. 441—455 (1984). Г. В. Агекям. А. Б. Нерсесям, Ден. в Арм. НИИНТИ, № 64—Ар. 89, 1989. Г. А. Н. Тихомов. В. Я. Арсемии, Методы решения некорректных задач. Наука, М., 1974.

No 1

ТЕОРИЯ УПРУГОСТИ

YAK 539.3

Ю А. Антипов, академик АН Арменин Н. X Аругюнян

О принципе соответствия при кручении неоднородных тел вращения (Представлено 24/V 1991)

Пусть Q — упругое тело вращения вокруг оси Oz кусочно-глад-кой кривой, составленное из двух материалов с модулями сдвига G_+ (z < 0), и плоскость z = 0 — плоскость симметрии для области C_+ К поверхности C_+ приложены касательные окружные усилия c_+ . Тогда отличные от нуля компоненты тензора напряжений будут иметь вид C_+

$$\tau_{qr} = G(z)r\frac{\partial\Psi}{\partial r}, \quad \tau_{qz} = G(z)r\frac{\partial\Psi}{\partial z}, \quad \Psi = \frac{v}{r}, \quad (1)$$

 $G(z) = G_{\pm}$, если $z \leq 0$, v - угловое смещение, $\Psi - функция перемещения, для которой уравнения Ляме принимают следующий вид:$

$$\frac{\partial^2 \Psi}{\partial r^2} + \frac{3}{r} \frac{\partial \Psi}{\partial r} + \frac{\partial^2 \Psi}{\partial z^2} = 2 \frac{\partial^2 \Psi}{\partial t^2}, \quad (r, z) \in \Omega, \quad t > 0, \quad (2)$$

где $\rho = \rho_0 G(z)$ — плотность тела. Требуется найти решение уравнения (2), удовлетворяющее начальным условиям

$$v|_{t=0} = 0, \quad \frac{\partial v}{\partial t}|_{t=0} = 0, \quad (r, z) \in \overline{2},$$
 (3)

граничному условию ($T_n(r,z,t)$ — нечеткая по z функция)

$$\tau_{en} = G(z) r \frac{\partial \Psi}{\partial n} = r T_n(r, z, t), \quad (r, z) \in \partial \Omega, \quad t > 0$$
 (4)

и условиям сопряжения

$$v|_{z=-0} = v|_{z=+0}$$
, $v|_{z=+0} = v|_{z=+0}$, $0 \le r \le R$, $t \ge 0$, (5)

где R — радиус поперечного сечения тела при z=0. При помощи преобразования Лапласа

$$\|\Psi_{p}, T_{np}\|(r, z) = \int_{0}^{\infty} e^{-rt} \|\Psi, T_{n}\|(r, z, t) dt, \quad \text{Re}(p) > 0$$

на основания (1) (5) получаем следующую разрывную краевую задачу:

$$L\Psi_{\rho} = 0, \quad (r, z) \in \mathcal{Q},$$

$$Lf = \frac{\partial^{2} f}{\partial r^{2}} + \frac{3}{r} \frac{\partial f}{\partial r} + \frac{\partial^{2} f}{\partial z^{2}} - \rho_{0} \rho^{2} f; \quad \frac{\partial \Psi_{\rho}}{\partial z} = \frac{T_{np}}{G(z)}, \quad (r, z) \in \partial \mathcal{Q},$$

$$\Psi_{\rho|z=-0} = \Psi_{\rho|z=+0}, \quad G_{-} \frac{\partial \Psi_{\rho}}{\partial z}|_{z=-0} = G_{+} \frac{\partial \Psi_{\rho}}{\partial z}|_{z=+0}, \quad 0 \leqslant r \leqslant R.$$
(6)

Пусть $\Gamma_p(r,z,\xi,\zeta)$ — функция Грина задачи Неймана для оператора эллиптического типа L в области $\Omega = \{(r,z) \in \Omega \colon z > 0\}$ при условии

$$\frac{\partial \Psi_{p}}{\partial n} = \frac{T_{np}}{G_{+}} \qquad (r, z) \in \omega \qquad \frac{\partial \Psi_{p}}{\partial z} = \frac{p(r)}{G_{+}} \qquad (r, z) \in S.$$

$$\omega^{*} = \{(r, z) \in \partial \Omega: z > 0\}, \qquad S = \{0 \leqslant r \leqslant R, z = 0\}.$$

Тогда решение задачи (6) с учетом симметрии области Ω примет вид

$$\pm G_{\pm} \Psi_{\rho}(r, \pm z) = \int \Gamma_{\rho}(r, z, \xi, \zeta) T_{np}(\xi, \zeta) d\omega + \int \Gamma_{\rho}(r, z, \xi, 0) \varphi_{\rho}(\xi) dS, \qquad (7)$$

где функция (с) — решение интегрального уравнения

$$2 \times \int_{0}^{R} \Gamma_{\rho}(r, 0, \xi, 0) \varphi_{\rho}(\xi) \xi d\xi = -\int_{0}^{R} \Gamma_{\rho}(r, 0, \xi, \zeta) T_{np}(\xi, \zeta) d\omega^{+}$$

$$(0 \le r \le R).$$

При помощи обратного преобразования Лапласа, (1) и (7) находим формулы для касательных напряжений

$$\tau_{qr} = \pm r \frac{\partial}{\partial r} \frac{1}{2\pi i} \int_{\tau} \Phi_{\rho}(r, \pm z) e^{\rho t} d\rho,$$

$$\tau_{qz} = \pm r \frac{\partial}{\partial z} \frac{1}{2\pi i} \int_{\tau} \Phi_{\rho}(r, \pm z) e^{\rho t} d\rho,$$

$$\tau: \operatorname{Re}(\rho) = h > 0, \qquad \Phi_{\rho}(r, \pm z) = \pm G_{\pm} \Psi_{\rho}(r, \pm z).$$

Таким образом можно сформулировать следующий принцип соответствия.

Пусть в области Ω модуль сдвига $G(z) = G_+$ при z > 0 и $G(z) = G_+$ при z = 0, $\rho_0 = \mathrm{const}$ и на поверхности тела $\partial \Omega$ функция $T_n(r,z,t)$ нечетна по z. Тогда поле напряжений при нестационарном кручении составного тела вращения, для которого плоскость раздела сред является одновременно и плоскостью симметрии, совпадает с полем напряжений в соответствующем однородном теле, а поле персмещений зависит от G_+ и G_- и имеет вид

$$v(r, \pm z, t) = \pm \frac{r}{G_{\pm}} \frac{1}{2\pi i} \int \Phi_{p}(r, \pm z) e^{pt} dp.$$

Разумеется, что сформулированный выше принцип соответствия справедлив для неоднородных тел вращения и в случае воздействия статической нагрузки. В качестве примеров рассмотрим кручение соответственно цилиндра, эллипсоида и шара с кольце ой трещиной в статической постановке.

1. Цилинор Пусть круговой цилиндр $(0 \le r \le R, 0 \le \varphi \le 2\pi, -4 \le R)$ скручивается касательными усилиями, приложенными на торцах. Боковая поверхность свободна от напряжений. Задача эквивалентна краевой задаче (M-величина крутящего момента):

$$\frac{\partial^{2} \mathbf{v}}{\partial r^{2}} + \frac{1}{r} \frac{\partial \mathbf{v}}{\partial r} - \frac{\mathbf{v}}{r^{2}} + \frac{\partial^{2} \mathbf{v}}{\partial z^{2}} = 0, \quad 0 < r < R, \quad -a < z < b:$$

$$\frac{\partial \mathbf{v}}{\partial z}\Big|_{z=-a} = m_{-b}(r - R_{0}), \quad \frac{\partial \mathbf{v}}{\partial z}\Big|_{z=b} = m_{-b}(r - R_{0}), \quad 0 < r < R; \quad (8)$$

$$m_{\pm} = \frac{M}{2\pi R_{0}^{2} G} \quad (0 < R_{0} < R), \quad \left(\frac{\partial \mathbf{v}}{\partial r} - \frac{\mathbf{v}}{r}\right)_{r=R} = 0, \quad -a < z < b:$$

$$\mathbf{v}\Big|_{z=-a} = \mathbf{v}\Big|_{z=+a}, \quad G = \frac{\partial \mathbf{v}}{\partial z}\Big|_{z=-a} = G_{+} \frac{\partial \mathbf{v}}{\partial z}\Big|_{z=+a}, \quad 0 < r < R.$$

Применяем к задаче (8) интегральное преобразование

$$v_{k}(z) = \int_{0}^{R} v J_{1}(\kappa_{k} r) r dr, \qquad v(r, z) = \sum_{k=1}^{\infty} \frac{v_{k}(z)}{\sigma_{k}} J_{1}(k, r),$$

$$\lambda_{k} = R^{-1} z_{k}, \qquad \sigma_{k} = \frac{1}{2} R^{2} J_{1}(\xi_{k}) J_{2}(\xi_{k}), \qquad J_{2}(\xi_{k}) = 0 \quad (k = 1, 2, ...)$$

и находим формулы для трансформанты смещения и касательных напряжений, причем последние не зависят от G_+ , G_- тогда и только тогда, когда a=b. В этом случае имеем

$$v_{\star}(z) = M_1(\pi R_0 G(z) \lambda_k \sinh 2\lambda_k a)^{-1} J_1(\lambda_k R_0) \sinh \lambda_k a \sinh \lambda_k z, \quad |z| < a.$$

2. Сплюсивтый эллипсоид вращения. В вырожденных эллипсондальных координатах (s, µ, э)

$$r = a(1-s^2)^{1/2}(1-\mu^2)^{1/2}, \quad z = as\mu, \quad 0 \le s < \infty, \quad |\mu| \le 1$$

задача кручения составного сплюснутого эллипсоида вращения эквивалентна следующей краевой задаче (2):

$$(1+s^{2})\frac{\partial^{2}\Psi}{\partial s^{2}}+4s\frac{\partial^{2}\Psi}{\partial s}+(1-\mu^{2})\frac{\partial^{2}\Psi}{\partial \mu^{2}}-4\mu\frac{\partial\Psi}{\partial \mu}=0, \qquad (9)$$

$$0 < s < s_{0}, \quad |\mu| < 1,$$

$$\Psi(0, u) = \Psi(0, -\mu), \quad G_{\perp} \frac{\partial \Psi}{\partial s}(0, \mu) = G_{\perp} \frac{\partial \Psi}{\partial s}(0, -\mu), \quad |\mu| \leq 1, \quad (10)$$

$$\Psi(s, +0) = \Psi(s, -0), \quad G_{+} \frac{\partial \Psi}{\partial \mu}(s, +0) = G_{-} \frac{\partial \Psi}{\partial \mu}(s, -0),$$

$$0 \leqslant s \leqslant s_0$$

$$\frac{\partial \Psi}{\partial s}\Big|_{s=s_0} = \frac{T_s(\mu)}{G(\mu)}, \quad |\mu| \leqslant 1; \quad T_s(\mu) = \left(\frac{s_0^2 + \mu^2}{1 - \mu^2}\right), \quad \frac{T(\mu)}{1 + s_0^2},$$

$$G(\mu) = G_{\pm}, \quad \mu \leq 0, \quad s_0 = a^{-1}b_1, \quad a = (b_1^2 - b_2^2)^{-1},$$

 b_1 , b_2 —полуоси эллипса, вращением которого вокруг оси Oz образуется эллипсонд. Касательные напряжения связаны с функцией перемещения Ψ формулами

$$S_{s} = \frac{Gr}{H_s} \frac{\partial \Psi}{\partial s} \qquad \qquad \frac{Gr}{H_u} \frac{\partial \Psi}{\partial \mu} .$$

$$H_s = a \left(s^2 + \mu^2 \right)^{1/s} \left(s^2 + 1 \right) \qquad \qquad = a \left(s^2 + \mu^2 \right)^{-1} \left(1 - \mu^2 \right)^{-1} .$$

Пусть $\Psi = \Psi_{\perp}$, $\mu \geqslant 0$. Методом разделения перемсыных находим общее решение уравнения (9)

$$\Psi_{-}(s, \mu) = \sum_{m=0}^{\infty} A_m^{\pm} C_m^{s_s}(\mu) C_m^{s_{ls}}(is),$$

где $C_m^{i_1}(x)$ — многочлены Гегенбауэра. Подагая.

$$T_{\bullet}(\mu) = G_{+}T_{0}(\mu) + T_{1}(\mu), \quad \mu \geqslant 0;$$

$$T_{0}(\mu) = T_{0}(-\mu), \quad T_{1}(\mu) = -T_{1}(-\mu);$$

н удовлетворяя условиям (10), получаем выражения для коэффициентов

$$A_{2m+j}^{\pm} = A_{2m}, \qquad G_{\pm} A_{2m+1}^{\pm} = A_{2m+1},$$
 $A_{2m+j} = 2 \left[i v_{2m+j} \sigma_{2m+j} (i s_0) \right]^{-1} T_{j2m+j},$

$$T_{n}(s) = \frac{d}{ds} C_{n}^{h}(s) = \frac{(n+1)(n+2)}{n+3/2}$$

$$T_{n} = \int_{0}^{1} T_{j}(\mu) G_{n}^{h}(\mu) (1-u^{2}) du.$$

В случае нечетной нагрузки: $T(\mu) = -I(-\mu)$ имеем $T_0(\mu) = 0$, $A_{1n} = 0$ и тогда касательные напряжения не зависят от G_+ , G_-

3. Тело вращения с трещиной. Пусть Ω --тело вращения, имеющее в плоскости симметрии грещину (дискообразную, кольцевую или их систему) и пусть выполняются условия принципа соответствия. Тогда коэффициент интенсивности напряжений $K_{\rm III}$ не зависит от модулей сдвига G, G. В частности, в случае кольцевой трещины (b < r < a, $\theta = \pi/2 \pm 0$) в составном шаре радиуса a, который скручивается касательными окружными усилиями с моментом M. приложенными вдоль нараллелей $\theta = \theta_0$, $\theta = \pi - \theta_0$, имеем (3)

$$K_{III} = -3/4 \times [a^{-1}, a^{-1}, M_{\Lambda}]^{-1} (1 - 8/3 \times [a^{-1}] + O(\Lambda^{5})), \quad \lambda = ba^{-1} \to 0.$$

Одесский государственный университет им. И. И. Мечникова

3ՈՒ. Ա. ԱՆՏԻՊՈՎ, Հայաստանի ԳԱ ակագեմիկոս Ն. Խ. ՀԱՐՈՒԹՅՈՒՆՅԱՆ

Անճամասեր պտտման մաբմինների ոլորման դեպքում ճամապատասխանության սկզբունքի մասին

Ապացուցվում է համապատասխանության հետևյալ սկզբունքը։ Եթե երկու նյութերից կազմված կտոր առ կտոր ողորկ մակերևույթով պտտման առաձգական մարմինը, որի համար նրա բաղադրիչ մասնրը բաժանող հարթությունը միաժամանակ հանդիսանում է նաև սիմետրիայի հարթություն, այդ դեպքում ալդ մարմնի ոչ ստացիոնար ոլորման դեպքում լարումների դաչար համընկնում է համապատասխան համասեռ մարմնի ոլորման ժամանակ առաջացած լարումների դաչտի հետո Որսլես օրինակ դիտարկվել են գլանի, էլիպսոիդի և օղակաձև ճաքով դնդի ոլորման խնդիրները։

ЛИТЕРАТУРА — ЧГЦЧЦЬПЬРВПЬЬ

1 11 Х. Арутюнян, Б. Л. Абрамян, Крученке упругих тел, Физматгиз, М., 1963. 2 А И Лурье, Теория упругости, Наука, М., 1970. 3 Ю. А. Антилов, Н. Х. Арутюнян, Изв АН СССР, МТГ. № 4, 1991. Том 93

1992

No 1

теория упругости

УДК. 539.3

В С Тоноян, Н. С. Мелкумян

Антиплоская контактная задача для упругой полуплоскости с вертикальной трещиной, идущей от границы полуплоскости

(Представлено чл.-корр. АН Армении Б. Л. Абрамяном 27/VII 1991)

Рассматривается антиплоская контактная задача для упругой изотропной полуплоскости (x=0) с вертикальной конечной трещиной (0 < x < a), выходящей на границу. К границе полупоскости по обе стороны от начала трещины приклеплены два симметричных штампа конечных размеров (0 < |y| < b).

Принимается, что на штампы действуют силы, приводящие к состоянню антиплоской деформации.

Задача решена методом Фурье в перемещениях.

В силу кососимметрии граничных условий достаточно рассматривать только квадрант ($0 < x < \infty$, $0 < y < \infty$) со смещанными граничными условиями

Решение задачи ищется в виде сумм интегралов Фурье. Для определения неизвестных плотностей интегралов Фурье получена система парных интегральных уравнений. Парные интегральные уравнения решаются в замкнутом виде методом ортогонализации, и полученная система сводится к интегральному уравнению типа Фредгольма горого рода. Доказана разрешимость этого уравнения, в частности, решение может быть найдено методом последовательных приближений.

Выведены формулы для определения напряжений и перемещений в любой точке полуплоскости. Получены формулы для контактных напряжений. Выделена особенность и вычислены коэффициенты интепсивности напряжений как на конце трещины, так и на конце жесткосцепленного штампа.

При приравнивании значения коэффициента интенсивности напряжений к критической величине по теории хрупкого разрушения материала получается выражение, которое определяет распространение трещины и ее устойчивость.

В частном случае, когда длина трещины стремится к нулю, получается антиплоская задача теории упругости для полуплоскости без трещины В этом случае решение задачи получается в замкнутом виде. В силу кососимметрии достаточно рассматривать только область квадрацта при следующих граничных условиях:

$$U_{z}(0, y) = f_{1}(y), \qquad 0 < y < b,$$

$$U_{z}(0, y) = f_{2}(y), \qquad b < y < \infty;$$

$$U_{z}(x, t) = f_{0}(x), \qquad 0 < x < a;$$

$$U_{z}(x, t) = f_{0}(x), \qquad 0 < x < a;$$

$$U_{z}(x, t) = f_{0}(x), \qquad 0 < x < a;$$

Решение задачи ищется в виде сумм интегралов Фурье (1):

$$(2 + y) = \int_{-1}^{1} (2)e^{-2x} \sin 2y dx + \int_{0}^{\infty} C(x)e^{-x} \cos \beta x dx,$$
 (2)

тогла для касательных напряжений имеется:

$$(3) = -2\pi \left(\frac{1}{2}\right) e^{-2\pi} \sin 2y dz - G \int_{0}^{\pi} \mathcal{E}C(\beta) e^{-\pi} \sin 3x d\beta;$$

$$(3) = -G \int_{0}^{\pi} 2A(\gamma) e^{-2\pi} \cos \gamma y dz - G \int_{0}^{\pi} \mathcal{E}C(\beta) e^{-\pi} \cos 3x d\beta.$$

Здесь $\Lambda(\alpha)$ и C (β) неизвестные функции, подлежащие определению из граничных условий (1). После удовлетворения граничным условиям (1) получается следующая система «парных» интегральных уравнений

$$\int_{0}^{\infty} A(a) \sin ay da = f_{1}(y) - \int_{0}^{\infty} C(3) e^{-ax} da \qquad () \leq y \leq b;$$

$$\int_{0}^{\infty} 2A(a) \sin ay da = -\frac{1}{G} f_{2}(y);$$

$$(4)$$

$$\begin{cases} \int \beta C(\beta) \cos \beta x d\beta = -\frac{1}{G} f_3(x) + \int \alpha A(\alpha) e^{-\alpha x} d\alpha, & 0 < x < \alpha \\ 0 & 0 \end{cases}$$

$$\begin{cases} C(\beta) \cos \beta x d\beta = 0, & \alpha < x < \alpha \end{cases}$$

$$\begin{cases} C(\beta) \cos \beta x d\beta = 0, & \alpha < x < \alpha \end{cases}$$

$$(5)$$

Подобные «парные» интегральные уравнения рассматринались в работах (2-4) и др).

Используя результаты работ (3 , 4) для функций A (4) и C (3), получим следующие выражения из (4) и (5):

$$A(a) = \frac{2}{\pi} \int_{0}^{\pi} \varphi_{1}(r) J_{0}(ar) dr + \frac{2}{\pi} \int_{0}^{\pi} \varphi_{2}(r) J_{0}(ar) dr - \int_{0}^{\pi} C(\beta) d\beta \int_{0}^{\pi} |\beta_{r}L_{0}(\beta_{r})| + \frac{2}{\pi} - |\beta_{r}I_{0}(\beta_{r})| |J_{0}(ar)| dr$$

$$(6)$$

$$C(\beta) = \frac{2}{\pi} \int_{0}^{\beta} \varphi_{3}(t) J_{0}(\beta t) dt +$$

$$+ \int_{0}^{\infty} aA(a) da \int_{0}^{\infty} t [I_{0}(at) - L_{0}(at)] J_{0}(3t) d^{2}. \tag{7}$$

где J, (z) — функция Бесселя первого рода с действительным аргументом; I, (z) — функция Бесселя первого рода от мнимого аргумента; L, (z) — функция Струве от мнимого аргумента.

Исключая функцию $C(\beta)$ из (7) и (6), для функции $A(\alpha)$ получается следующее интегральное уравнение типа Фредгольма второго рода

$$A(a) = 2(a) + \int A(a)K(\gamma, a)d\gamma, \qquad (8)$$

TAC

$$2(a) = \frac{2}{\pi} \int_{0}^{\pi} (r) J_{0}(ar) dr + \frac{2}{\pi} \int_{0}^{\pi} (r) J_{0}(ar) dr - \frac{4}{\pi^{2}} \int_{0}^{\pi} t \varphi_{3}(t) dt \int_{0}^{\pi} \frac{J_{0}(ar)}{t^{2} + r^{2}} dr; \qquad (9)$$

$$K(\gamma, z) = \frac{2}{\tau} \int_{0}^{\tau} t^{2} |L_{0}(\gamma t) - I_{0}(\gamma t)| dt \int_{0}^{b} \frac{I_{0}(\alpha r)}{t^{2} + r^{2}} dr.$$
 (10)

Очевидно, что функция 2 (2) ограничена сверху и стремится к нулю, когда 2 → ∞.

С использованием результатов работы (⁵) доказывается, что (8) можно решить методом последовательных приближений.

Решая интегральное уравнение (8) методом последовательных приближений, получим выражение функции A (α). Далее, по формуле (7), можно определить искомую функцию C(β)

Напряжения и перемещения по известным формулам (2) и (3) будут определены в любой точке полуплоскости. В частности, напряже-

иня вне разреза и перемещения берегов разреза (u=0) определяются формулами:

$$\frac{\pi_{xy}(x,0)}{a} = \frac{2}{\pi} \frac{Gx}{a} \frac{\pi_{x}(a)}{|x^{2} - b^{2}|} + \frac{Gx}{|x^{2} - a^{2}|} \\
\times \int_{0}^{\pi} \alpha \left[I_{0}(\alpha a) - L_{0}(\alpha a) \right] A(\alpha) d\alpha + \frac{2}{\pi} Gx \int_{0}^{\pi} \frac{\varphi_{3}(t) - t\varphi_{3}'(t)}{t^{2} \sqrt{x^{2} - t^{2}}} dt + \frac{Gx}{|x^{2} - t^{2}|} \int_{0}^{\pi} \frac{dt}{|x^{2} - t^{2}|} \int_{0}^{\pi} \frac{2^{2}}{|x^{2} - t^{2}|} \left[L_{1}(at) + \frac{2}{\pi} - I_{1}(at) \right] A(\alpha) d\alpha + .$$

$$+ G \int_{0}^{\pi} \alpha A(a) e^{-ax} da, \quad a \le x \le \infty;$$

$$U_{x}(x, 0) = \frac{2}{\pi} \int_{0}^{\pi} \frac{\varphi_{x}(t)}{|x^{2} - x^{2}|} dt + \frac{tdt}{|x^{2} - x^{2}|} \int_{0}^{\pi} \frac{2[I_{0}(at) - I_{0}(at)] A(a) da, \quad 0 < x < a. \quad (12)$$

Коэффициент особенности Кин имеет вид

$$K_{\rm RI} = Gx \left\{ \frac{2z_3(a)}{\pi a} + \int_0^\infty a \left[I_0(2a) - L_0(2a) \right] A(a) dz \right\}. \tag{13}$$

Приравнивая значение коэффициента интенсивности напряжений (13) к критической величине ($K_{III} = K_c$) по теории хрупкого разрушения (6), голучается выражение, которое определяет распространение трещины и ее устойчивость.

Ізиститут механики Академии наук Армения

վ. Ս. ՏՈՆՈՑԱՆ, Ն. Ս. ՄԵԼՔՈՒՄՅԱՆ

Կիսանաբրության եզբից սկսվող ուղղաձիգ նաքով առաձգական կիսանաբրության նամաբ նականաբթ կոնտակտային խնդիբ

Դիտարկվում է Հակահարթ կոնտակտային խնդիր առաձղական, իզոտրոպ կիսահարթության համար, որն ունի եզր դուրս եկող ուղղաձիգ, վերջավոր ճաք, կիսահարթության հորիզոնական սահմանի երկու կողմերում, ճաքի եզրից սկսած ամրակցված են վերջավոր չափերի սիմետրիկ կոշտ դրոշմներ։

Ընդունվում է, որ դրոշմների վրա ազդում են հակահարթ դեֆորմացիոն վիճակի հանգեցնող ուժեր։ անդիրը լուծված է Ֆուրյնի մեթողով տեղափոխությունների համար։ Շնորհիվ խնդրի շեղահամաչափության, րավական է դիտարկել միայն թառորդ հարթությունը խառը եզրային պայմաններով։

ատ կարելի է որոշել լարումները և տեղափոխությունների գումարի առարթության ցանկացած կետում։

Ստացված հն ճաքից դուրս լարումների և ճաքի ներսում տեղափոխու-Քյունների որոշման համար բանաձևեր։ Առանձնացված է եզակիու<mark>թյունը և</mark> հաշվարկված է լարումների ինտենսիվության գործակիցը ճաքի գա<mark>գաթում</mark>։

Մստ Նյունի փխրուն քայքայման տևսունյան լարումների ինտենսիվու-Ոյան գործակիցը հավասարեցնելով կրիտիկական արժեքին, ստացված է արտահայտունյուն ձաքի տարածումը և նրա կայունունյունը որոշելու համար։

Մասնավոր դեպքում, երբ ճաքի երկարությունը ձգտում է զրոյի ստացված է առաձգականության տեսության հակահարթ խնդրի փակ լուծումը առանց ճաքի կիսահարթության համար։

ЛИТЕРАТУРА — ЧРЦЧЦЪПЪР В ПЪЪ

В. Новицкий, Теория упругости, Мир. М., 1975. 2 Я. С. Уфлянд, Метод парных уравнений в задачах математической физики. Наука, Л., 1977. 3 В. С. Тоноян, Изв. АН АрмССР Механика, т. 21, № 3 (1968). 4 В. С. Тоноян, ДАН АрмССР, т. 37, № 5 (1963) Б. С. Тоноян, С. А. Мелкумян, Изв. АН АрмССР. Механика, т. 25, № 3, 1972. Г. П. Черепанов, Механика хрупкого разрушения, Наука, М., 1974.

Том 93

1992

No 1

МОЛЕКУЛЯРНАЯ БИОЛОГИЯ

УДК 577 г

Р. А Захарян, М А Погосян

Мембранный механизм переноса молекул олигонуклеотидов в клетку (Представлено чл -корр. АН Армении К. Г. Карагезяном 16/1 1991)

Ранее нами (14), а затем и другими авторами (5-в) было показано, что рецепция нукленновых кислот, в том числе и двуспиральных РТК, олигонуклеотидов на плазматической мембране клеток млекопитающих в определенной мере специфична, обусловлена взаимодействием с пр теннами и по своим характеристикам аналогична взаимодействию лиганд — рецептор.

Одновремению пами же было показано (9), что интерферониндуцирующая активнесть дсРНК в комплексе с Ca²⁻ (in vitro и in vivo) возрастает в 1—5 раз и Ca-дсРНК обладает более высокой антивирусной активностью, что позднее было подтверждено в работе (10).

В даннем исследовании показано, что комплексы Са²т-дсРНК и Са²†ДНК связываются с теми же участками на поверхности плазматической мет браны, что и дсРНК и ДНК, соответственно, и что трансмембранный перенос молекул нуклеиновых кислот осуществляется совместно со специфическим рецептором в составе эндожитарной клатринсодержащей везикулы.

В экспериментах использованы: [3 H]дсРНК-- 6 ,5 \times 10 3 имп/мкг/мин, дрожжевая киллерная РНК с мал. массой 1,6 МД (Ин-т вирусологии им. Д. Ивановского АМН СССР); [14 С] ДНК тимуса теленка 8 \times 10 4 имп/мкг/мин.; поли dA. поли dT; поли rA. поли rY; поли dU. поли eH; поли rH. поли rU [3 H] полинуклеотиды с активностью около 6 .1 \times 10 3 имп/мин/мкг были получены в тритиевой воде с 3 . А. 5 Кю/мл.

Кальппевые комплексы полннуклеотидов получали их никубацией в среде МЕМ в присутствии 25мМ CaCl₂ при 37°C в течение 2 ч.

Получение антител к белкам 35 КД и 54 КД и 60 КД. По 300 мкг очищенного белка в 1 мл PBS интенсивно смешивали с 1 мл полного адъюванта Фройнда («Difeo») до получения гомогенной эмульсии По 0,05 мл полученной эмульсии вводили подкожно кроликам в 40 уколов по поверхности спины и лапок. Эту процедуру иммунизации повторяли дважды через каждые две недели. К концу двух недель от последней иммунизации антитела выделяли во фракции из муло побущенов.

При изучении кинетики связывания ДНК и дсРНК с поверхностью клеток (2×10^6 кл), предварительно обработанных антителами, в среду с клетками вводили [14 C] ДНК 0,4 мкг, 32×10^3 нмп/мин или дсРНК 0,48 мкг, 3×10^3 нмп/мин; после инкубации радиоактивность, сиязавщуюся с клетками, определяли в радиосчетчике SL-30 (Франция).

Получение клеток и эндоцитарных везикул описано в работе (4).

Первичные клетки почек кролика РК выращивали в среде МЕМ, содержащей 10% сыворотки теленка, после достижения монослоя концентрацию сыворотки синжали до 5%. [32P] поли гИ. поли гЦ и [32P] поли гЛ. поли гУ получали 5' фосфорилированием этих полинувлестидов Т4-полинуклеотидкиназоп, согласно работе (11).

Ввиду большей биологической активности Са-дсРПК (**10*) была изучена возможная конкуренция между молекулами Са-дсРПК Са-ДПК и ДНК за места связывания на мембране.

Связывание [3H] Са²⁺-дсРНК с клетками первичной культуры почек кролика РК существенно ингибировалось в присутствии дсРПК. Одинаковым образом связывание Са-[3H] ДНК с клетками печени избытка ДНК (табл. 1).

Табаца 1
Конкурентия в связывании между дсРНК и
Са-[чі]дсРНК (10 мкг мл., ДНК и Са-гчС]ДНК
(15 мкг/мл) на клетках печени и Рк-13

"Холодные" полинуклеотиды	Связывание Са-[3H]дсРНК мкг кл РК-13 2×10 ⁴	са-[14С] ДНК мкг кл печени 2 - 10
В отсутстви	0.42	
деРНК, 100 мк мл	0.043	
В отсутствие	- 1	0,35
ДНК, 100 мкг/мл	-	0.028

Ка для Са²⁺-форм дсРНК и ДНК составляли около 10 и и 2×10⁻¹⁰М относительно Ка для дсРНК и ДНК 10 ⁹М, соответственно. что указывает на формирование в условиях комплексообразования с Са²⁺, по-видимому, биологически более активной конформации молекулы нукленновой кислоты, взаимодействующей с поверхностью клетки.

Полн dA, поли dT и поли rA, поли rY, поли dH, поли dU и поли rH, поли rU, равно как и поли rA, поли rY и поли rH, поли rU, не конкуриропали за места связывания на поверхности клеток первичной культуры почек кролика (табл. 2).

Полученные данные свидетельствуют о достаточной специфичности процесса сызывания изученных полинуклеотидов на плазматической мембране клеток млекопитающих.

В прежних наших работах было показано, что фактор связывания ЦНК тимуса быка на поверхности клеток печени крысы представлен в основном белком с мол. массой в 35 КД, фактор связывания дсРНК из Sach, cerevisal на тех же клетках представлен в основном белком с мол, массой в 52 КД; сорбция дсРНК на клетках больших полушарий мозга крысы обусловлена взаимодействием молекул РНК преимущественно с белками в 60 - 54 КД

Связывание [Чт] полинуклеотидов на ка тках РК-13

.Холодные. полинуклеотиды 20 х избыток	Связывлине (имп 106 клеток)					
	поли гА поли гУ	поли dИ поли ctt	поли 11 поли (11			
В отсутствие	24.0					
Поли ЛА - поли СТ	2160	******				
В отсутствие		31.0				
ПодитИ-подитЦ		2800				
В отсутствие	- 1		2150			
ПолитА-политУ	7 4		1900			

В табл. 3 приведены данные по связыванию молекул ДНК и дсРНК с поверхностной мембраной клеток печени, предварительно обработанных антителами к ДНК-связывающему белку 35 КД и дсРНК-связывающему белку 54 КД.

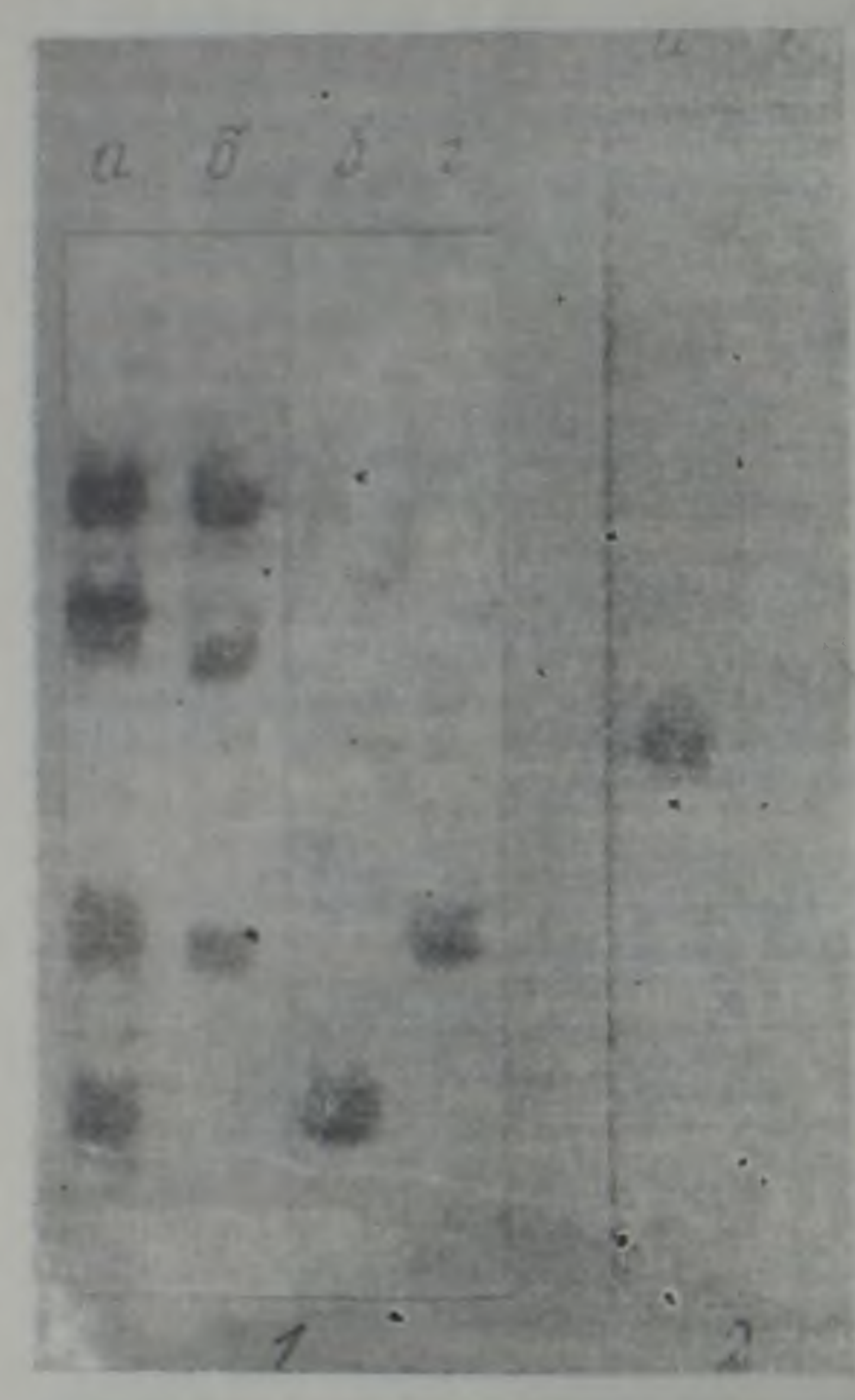
Таблица 3 Связывание ДНК и дсРНК с повержностной мембраной клеток печени обработанных антителами к белку 35 и 54 КД (имп мин 2 × 10° кл)

Время инкубации мин	[14]] ДНК	(3Н) дсРНК		
	контроль	обра б отка антителами	контроль	обработка антителами	
5	7×10^3	6 162	5 × 10 ²	60	
10	12×10^3	9 × 10 ²	11×10^2	90	
20	15 103	11 % 102	15×10^{2}	120	
40	16 103	12×10^{2}	17 < 10°	140	

Результаты свидетельствуют, что антитела к белку 35 и 54 КД значительно подавляли адсорбцию ДНК или дсРНК на поверхности клегок печени, что указывает на определенную роль этих белков в процессах адсорбции и трансмембранного переноса нуклеиновых кислот внутрь клетки. С целью возможного выявления этих белков в составе ДНК или дсРНК-клатринсодержащих эндоцитарных везикул мы изолировали последние из клеток печени крыс (4) через 45 мин после внутривенной инъекции 100 мкг ДПК или 100 мкг дсРНК в форме комплекса с Са²⁺.

Гель-электрофорез белков выделенных эндоцитарных везикул показал, что они содержат белок клатрин с мол. массой в 180, 33—36 КД. а также белки в 110 и 50—55 КД ().

Одновременно в составе зидоцитарных везикул по Слутерну были инпилсны инт тиме мелекулы ДНК () и методом Вестери блота белок в 35 КД: в составе везикул, содержащих деРНК, был обнаружен белок 54 КД (рисунск).



Гестери блог анализ поли нуклеотидовязывающих белков плазилтической мембраны в составе эндоцигарных вези кул / -- гель-электрофорез в - ный II АГ белков эндоцитарных везикул из печени; и белки эндопитарных ве зикул 6 маркеры: белки с мол массой 180, 9 и 5 іх 103; е в состав: НК содержа щих везикул идентифи иро вал белок 35 КД г в составе т Р -- содержащих везикул идентиф цирован 6 лок 4 КД гель-электрофорез в обо ПАА! белков и перенос на нитроцеллюлози й фильтр белков эндо итариых везикул яз клеток РК, обработанных поли И поли Ц или поли г поли : У: и в составе поли : поли пЦ-содержащих ве зихул иденти ицирован бе лок 11 1 Д; б в составе пол 1 А поли тУ содержаних везикул белок ой КД отсутствует

Ранее нами было псказано, что ДПК-связывающий белок 35 КД является лигандом к А—Т парам (1). В аналогичном эксперименте и vitre в везикулах из клеток РК, содержащих поли гИ, поли гЦ, был выявлен ревепторный белок для поли гИ, поли гИ в 60 КД, ранее описанный в работе (3) (рисунси).

Данный белек не был обнаружен в поли rA. поли rB содержащих эндоцитарных везикулах из клеток PK—13.

Полученные дальые свидетельствуют, что факторы связывания нукленновых утслот на плазматической мембране проявляют специфичность в узнавании конфермации определенных последовательностей в структуре молекулы нукленновой кислоты и в составе эндо-ичтарной везикулы участвуют в трансмембранном переносе полинуклеотидов внутрь клетки.

Согласно устному сообщению Азума и др., сбработка клеток РК—13 моноклональными антителами (к рецепторному белку для поли И, поли И в 60 КД) подавляла индукцию интерферона в клетках РК—13. Наши исследования, проведенные в условиях эксперимента Азума в присутствии антител к белку в 60 КД, показали, что действительно индукция поли гИ, поли гИ интерферона в РК—13 подавлена несмотря на то, что определенная доля поли гИ, поли гИ обнаруживается в эндоцитарных незикулах, выделенных из клеток РК—13. Вместе с тем в этих эндоцитарных везикулах не обнаруживался белок 60 КД. Этот результат позволяет заключить что рецепторный белок к полинуклеотиду не только участвует в процессе трансмембранного их переноса, и и в ряде случаев, по-видимому, в комплексе с полинуклеотидом обеспечивает узкоспецифическую биологическую активность последнего

Институт экспериментальной биологии Академии наук Армении

11. Ա. ՉԱՔԱՐՑԱՆ, Մ. Ա. ՊՈՂՈՍՑԱՆ

մանակարհուկլեոտիղային մոլեկույների թաղանրային տեղավոխման մեխանիզմի

Մտացված տվյալները ցույց են տալիս, որ նուկլեինաթթուների կապվածության ֆակտորները՝ պրոտեինները ցուցաբերում են սպեցիֆիկություն նուկլեինաթթուների մոլեկուլների որոշակի Հաջորդականության հանալման և կապվածության հանդեպ։ Ca²+-երկշ. ՈՆԹ-ի և Ca²+-ԴՆԹ-ի կոմպերս-ները կապվում են թաղանթի այն նույն հատվածներին, ինչ որ երկշղ. ԻՆԹ-ն և ԴՆԹ-ն Համապատասխանաբար։ Նուկլեինաթթուների մոլեկուլների միջ-թաղանթային տեղափոխումը իրականանում է էնդոցիտար վեղիկուլի կազմի մեջ մտնող հատուկ ունեպտորների միջոցով։

ЛИТЕРАТУРА — 9 Г К 4 К 6 П 1 1 1 5 П 1 1 1

ГР. Л. Захарян, Тезисы дока. IV симпознум СССР-ФРГ «Структура и транскрипция генома», Ереван, с 19, 1981 - Р. А. Захорян, К. Г. Карагезян и сб. Струк тура и функция белков и нукленновых кислот Мат-лы VI Двусторончего счип СССР Франция Цхалтубо, с. 132, 1982. 3 Р. Л. Захарян, К. А. Бакунц. Н. 1. Скобелева, Нейрохимия, т. 8, № 1, с. 34—38 (1989). 4 Р. А. Захарян. В. А. Овсепян. А. Г. Аракелян. Биол жури, Армении, т 42, № 9/10. с. 923—926 (1989). (1 1/2). М. Blochem. Blophys Re. Commin. v. 122. v. 3 p 1034-10.9 (1981) * S L Loke. C. A. Stein, X. 11. Zhang e. a., Pric. Natl. Acac. St. U.S. v. 86, p. 6451-6-58 USA, v. 86, p 6454 6458 (1989). I Yishida, M. Azuma. II Kawa e. a. J. In ec teron Res. (1990). 9 Л. А. Рухкян, Р. А. Захарян, в сб. Лекарственные и биологически активные нещества в животноводстве и ветеринарии. Ереван, вып. 59. (1986) 10 Т М Соколова. Н А. Родонская, А. Ю Антонов и др. в сб. Изучение инлуктора интерферона-двуспиральной РНК в различных бнологических системах, Зинатис. Рига. с 47-53. 1989 II / R I. I houg. A. Klife, Bolintty. p 1221 1225 (1975) 37 Гом 93

No 1

ФИЗИОЛОГИЯ

УДК 612 827

Э. А. Оганесян

Фоновая импульсная активность нейронов центральных ядер мозжечка бодрствующей кошки

(Представлено академиком АН Армении В В. Фанарджяном 9/VII 1991)

Миогочисленные данные указывают на различие механизмов функционирования ядер мозжечка соответственно их принадлежности к налео-и неомозжечковым структурам (1-3). Наряду с этим отмечается и специфика в цитоархитектоническом строении каждого из внутримозжечковых ядер (4). Имеются литературные данные, свидетельствующие об информативности фоновой электрической активности (ФИА) нейронов мозга, в параметрах которой получают отражение особенности различных функциональных состояний (5). Изучению ФИА пейронов центральных ядер (ЦЯ) мозжечка посвящено всего несколько работ (6-1). Сопоставление полученных в этих исследованиях данных затруднено из-за использования различных видов животных, наркоза, способов обработки результатов и пр. (6-7).

Целью настоящего исследования было проведение анализа ФИА нейронов всех трех ядер мозжечка у одной и той же бодрствующей кошки в условиях хронического эксперимента с применением различных методов статистического анализа на компьютере.

Опыты проведены на трех взрослых кошках. Была исползована методика жесткой фиксации головы ненаркотизированной кошки и стереотаксическом аппарате (*). Осуществляли внеклеточное отведение активности нейронов и последующий гистологический контроль точек отведения. Анализировали межимпульсные интервалы (МИ) ФИА 111 нейронов, 15 в фастигиальном (ФЯ), 49 в промежуточном (ПЯ) и 47 в латеральном (ЛЯ) ядрах мозжечка. Предварительно была определена стационарность ФИА исследованных нейронов по непарамет рическому критерию Колмогорова—Смирнова (*). Строили графики скользящей частоты, гистограммы МИ 1 порядка (ГМИ), аутокор релограммы до 8 порядка (АКГ) и коррелограммы серияльных коэффициентов корреляции (СКГ). Подсчитывали значения средней частоты (F), средние интервалы разрядов (М), их среднеквадратичные отклонения (СМ) и коэффициенты вариации (СV%), коэффициенты

симметрии (As) и эксцесса (Ex), а также основные моды (Мо) и вероятности (Р) мод в ГМИ,

Благодаря применению метода статистического анализа пред ставилась возможность не только адекватно охарактеризовать ФИЛ непронов ЦЯ мозжечка, но и выявить особенности ФИА нейронов различных ядер в сравнительном аспекте.

Оценка характера импульсного потока нейронов трех ядер былл произведена по нейрограммам, по типам АКТ и СКГ, а также по другим статистическим характеристикам распределения МИ ФИА нейропов ЦЯ. Показано, что различие в первую очередь выражается в неодипаковых соотношениях отдельных разновидностей ФИА нейронов. Во всех ядрах превалировала ФИА нейронов характеризующаяся перегулярными последовательностями одиночных разрядоз (66,7% в ФЯ, 63,4% в ПЯ и 64,2% в ЛЯ). Наряду с этим ЛЯ характеризовалось сравнительно большим числом нейронов с залповым типом импульсной активности, выявляющей систематические изменения в частоте разрядов (учащение или замеделние) (31%—13 нейронов из 41).

Нейроны с ФИА, характеризующейся постоянными МИ и имеющей регулярную составляющую регистрировались только в ФЯ и ПЯ (13,3 и 9,8%, соответственно). Четкая организация ФИА в пачечную или групповую (по 2—3 импульса высокой частоты или 5—10 импульсов, в группе) встречалась крайне редко: в 3 нейропах ПЯ и в 1 нейроне ЛЯ В большинстве случаев каждая разновидность ФИА выделялась характерным распределением МИ, особенностями АКТ и СКГ.

При сопоставлении статистических показателей распределения МИ в ядрах мозжечка от ФЯ к ПЯ и ЛЯ прослеживалось снижение средней частоты (F), увеличение усредненных значений СМ и СV %, усиления Аз ГМИ Выявлено, что большая варнабельность ФИА ней ронов ЛЯ выражается также в превалировании полимодальных нейронов, несовпадении значений М и Мо, меньших значениях Р моды (см таблицу).

Статистически: характеристики распределений межимпульсных интервалов фоновой импульсной активности нейронов центральных ядер мозжечка

	F, ru	M. MC	CM, MC	CV. %	As	Ex	Мо мс	P
ФЯ ПЯ ЛЯ	22,7 20,6 17,2	83,1 100,8 187,6	55,2 75,3 202,0	68,9 67.7 101,3	1.5 1.5 2.4	6.J 4.9	82.9	0.18 0.07 0.03

Примечание: усредненные значения, Р — средней чалтоты, М — среднего меж импульсного интервала, СМ -среднеквадратичного отклонения, Су % козффициента вариалии, Аз — асимметрии, Ех — эксцесса, Мо — моды, Р — ве роятности мод

Наряду с прсобладанием во всех ядрах типов АКГ, указывающих на равновероятное проявление МН (перегулярность) ФНА нейр нов. в ПЯ чаще, чем в ЛЯ, встречались нейроны, характеризующиеся АКГ, что свидетельствовало в низком уровне возбудимости нейроно после генерации потенциала действия. Поскольку нейроны с залновым типом активности чаще встречались в нейронах ЛЯ, то соответствению тому больше гмечались АКГ, имеющие продолжительное начальное отклонение, указывающее на повышенную вероятность генерации спайка. Определенными типами АКГ характеризовались нейроны с регулярной составляющей в своем ФПА и нейроны с пачечными и групповыми разрядами.

Динамика следования МИ определялась вычислением сернал мых коэффициентов корреляции (СКК) и их графическим представлением (СКГ). Д стоверность отличия СКК от нуля оценивалась из таблице критических значений коэффициента корреляции (10). Для большинства нерегулярных нейронов и нейронов с регулярной с ставляющей в своем ФИА были характерны СКГ с нулевыми значениями СКК, что указывало на независимое случайное появление МИ той или иной длительности в анализируемом импульсном потоке.

При втором типе СКГ коэффициенты более низкого порядка были положительными. Они характерны для нейронов с залповым типом ФИА и отчасти для ФИА нерегулярных нейронов. Значения первых пяти СКК были сравнительно велики в нейронах ЛЯ с залповым типом ФИА, доходя иногда до 0,5—0,6. Коррелограммы с отрица выными СКК встречались реже. Сравнительно чаще они наблюдались в нейронах 11Я.

Таким образом в условиях хронического эксперимента или использовании различных методов статистического анализа были выплисны различия в соотношении отдельных разновиди стей ФНА нейзок и как по паттерну активности, так и по динамике следования межимпульстых интервалов, а также по другим статистическим характеристикам распределения МИ ФИА нейронов в каждом ядре. Надо полагать, что вариации в ФИА нейронов отдельных ядер определяются их цитоархитектоническими особенностями и различной выраженностью поррелирующих тонических афферентных и мозжечковых корковых влияний.

Институ: физиологии им: Л А Орбели Англемии наук Армении

է. Ա. ՀՈՎՀԱՆՆԻՍՅԱՆ

Ուղեղիկի կենտոսնական կորիզների նելոոնների ֆոնային ակտիվությունը

Արթուա կատուների մոտ խրոսիկ փորձի պայմաններում ուսումնասիրվել է արեղիկի կննտրոնական կորիզների ֆուսային արտարջջային ակտիվուԱյունը տարրեր տեսակի վիճակադրական անալիզի մենոդների օգնությամբ։

հությունը բնորոշվել է տարատեսակ նեյրոգրամների և միջնեյրոնային ակտիգությունը բնորոշվել է տարատեսակ նեյրոգրամների և միջնեյրոնային հաջորդականությունների տարրեր բանակական հարարերակցությունների առկայությամբ, ինչպես նաև միջնեյրոնային ինտերվալների բաշխման այլ վիՀակագրական բնութադրիչների արժեքների տարբերություններով։ Ենթադրրվում է, որ ուղեղիկի տարբեր կորիզներում նեյրոնների ֆոնային ակտիվության տարատեսակության առկայությունը պայմանավորված է այդ կորիզների բջջա-կառուցվածքային առանձնահատկությունների տարբեր արտահայտվածությամբ։

ЛИТЕРАТУРА — ЭГЦЧЦЪПЬРВПЬЪ

1 G. I Allen. N. Tsukahara, Physiol. Rev., v. 54, № 4, p. 957—1003 (1974).

2 М. It., The се ebellum and neuronal control, Raven Press, N. Y., 1984. В А. Оганиски, В В Фанарджин, О. А. Мадатян, Физиол, журн. СССР, т. 74, № 5, с. 640—647 (1983) — V. Chan-Palay, Cerebellar dentate nucleus, Springer-Verlag, Berlin. Heidelberg, N. Y., 1977. В С. В. Кирнуп, М. Н. Жадин, Журн. высшей нервной деятельности, т. 30, № 4, с. 718—746 (1980). С. Palmer, EEG Clin. Neurophysiol., v. 46, № 4, p. 357—70 (1979). В Giuifrida, F. Licata, G. L. Volsi e. a., Neuroscience, v. 9, № 1, р. 421—427 (1983). В. В. Фанарджин, С. А. Саакян, С. А. Арутовиян и др., Физнол журн. СССР, т. 56, № 7, с. 1060—1062 (1970). Л. Н. Большев, Н. В. Смирнов, Габляцы математической статистик I, Наука, М., 1983. П. Г. Ф. Лакин. Биометрия. Высшая школа М., 1980

Том 93

1992

No 1

ФИЗИОЛОГИЯ

УДК 612 825

В Л Городнов, академик АН Арменин В. В. Фанарджан

Быстрые реакции рубро-спинальных нейронов на корковые сигналы (Представлено 20/III 1991)

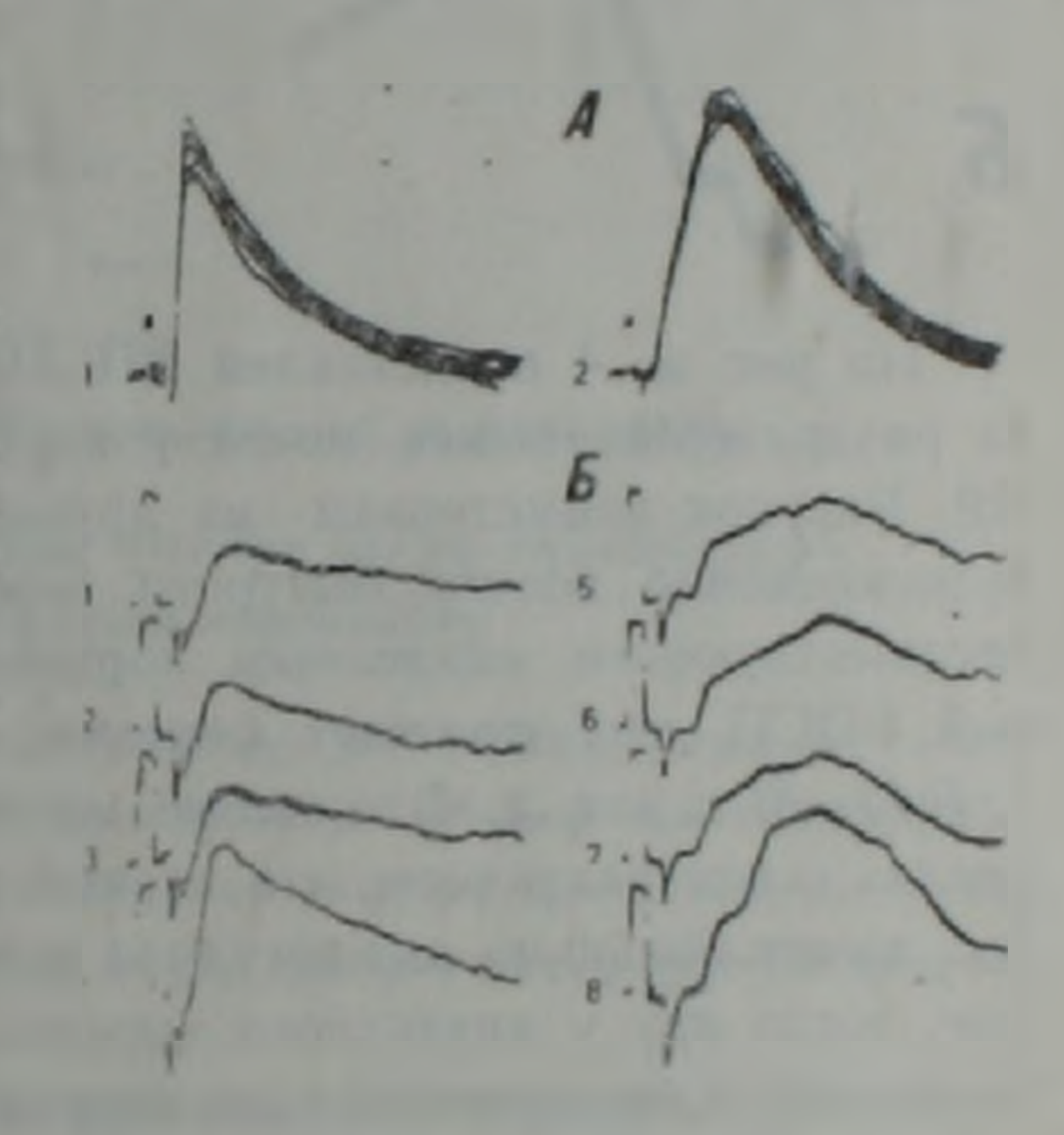
Красное ядро (КЯ) является одной из основых инстанций на выходе мозжечково-корковой петли. Имеется отчетливое различие между эфферентными входами в КЯ из сенсомоторной области коры мозга (СМ) и промежуточного ядра мозжечка (ПЯ): корковая проекция оканчивается на дендритах нейронов КЯ, мозжечковая—на соме клеток этого образования (1-4). При внутриклеточном отведении такая структурная организация выражается в различной форме отводимых потенциалов ВПСП, вызванные раздражением ПЯ, характеризуются быстрой фазой нарастания, в то время как ВПСП возникающие на стимуляцию СМ, имеют медленную фазу подъема (5-6).

Окончание корковых и мозжечковых волокон на различных участ ках сома-дендритной мембраны рубро-спинальных нейронов определяет неодинаковую эффективность указанных проекций, что обнаруживается на примере реорганизации синаптических входов и функционирования новых синапсов (феномен спраутинга) при различных воздействиях, начиная с частичной деафферентации КЯ и кончая выработкой специального двигательного условного рефлекса (7-9). При передислокации синапсов на мембране нейронов КЯ электрофизиологически наблюдается изменение и усложнение отводимых ВПСП, что отражает новую локализацию афферентных входов и феномен «спраутинг». Гакая картина наблюдается в корковых ВПСП после разрушения ПЯ, приводящего к дегенерации мозжечково-рубральных волокон. Одним нз показателей «спраутинга» является появление нового быстрого компонента, возникающего в результате образования коллатералей аксонов корковых клеток к соме нейронов КЯ. Синансы, устанавливаемые на теле рубро-спинальных нейронов, генерируют быстрые ВПСП, которые суммируясь с медленными ВПСП, вызванными предшествующими аксо-дендритными синапсами, образуют сложные ВПСП (7).

Наряду с этим показано, что у определенной части рубро-спинальных нейронов интактных животных также регистрируются сложные ВПСП (10—12). В настоящей работе приведены доказательства тому, что такие сложные ВПСП нормальных кошек могут предварять ся коротколатентным быстрым компонентом, который имеет те же характеристики, что и коротколатентный быстрый потенциал, отража ющий феномен «спраутинга» у оперированных животных.

Эксперименты были выполнены на 15 взрослых кошках нарко тизированных нембуталом (40 мг/кг). Особенности стимуляции и от ведения инутриклеточных потенциалов рубро-спинальных неиронов описаны ранее (10). Дополинтельно отводились электроды для стимуляции рубро-спинального тракта в области продолговатого мозга и раздражения ножек мозга.

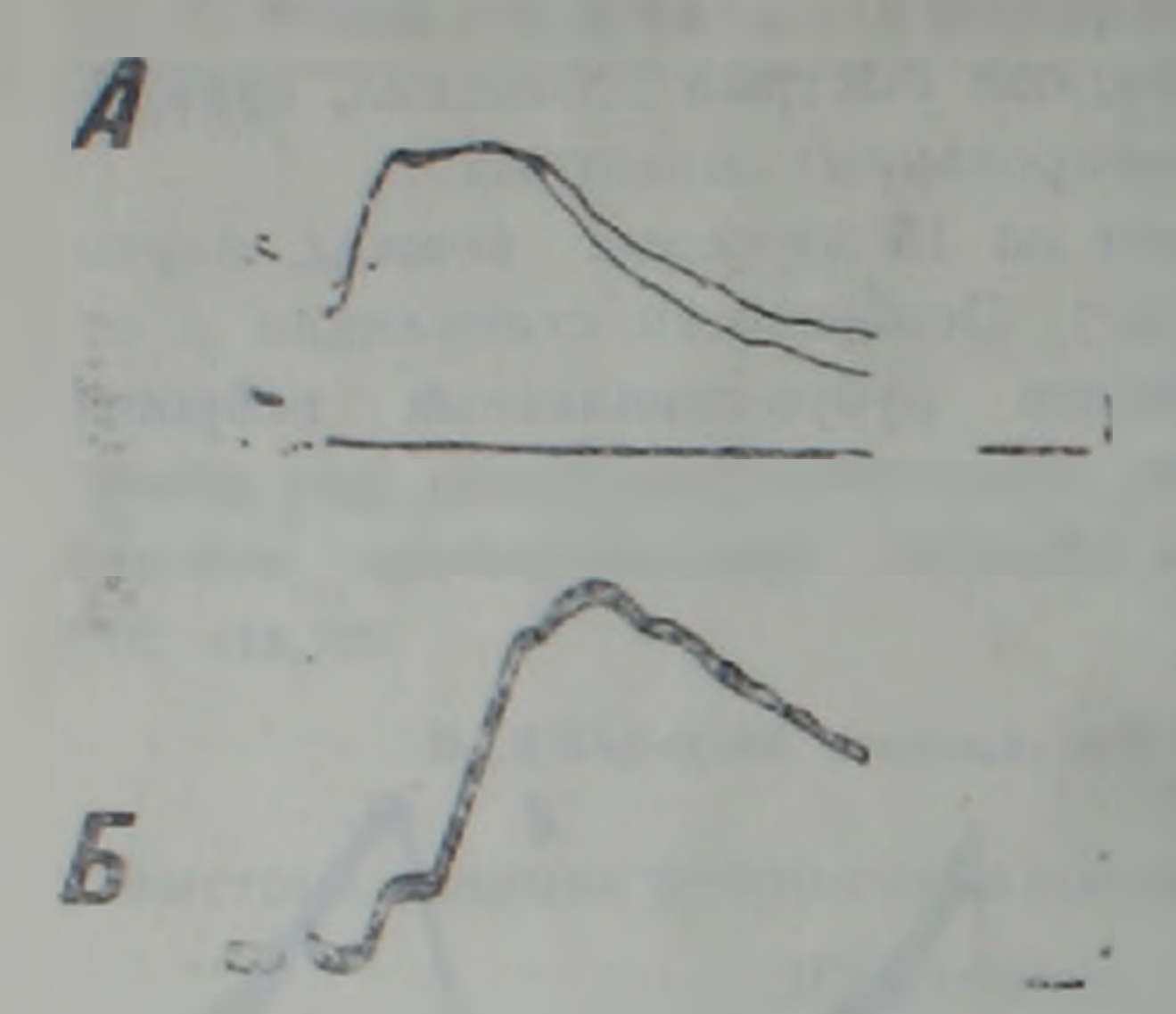
Рис. 1. Постепнантические потенциалы рубро спинальн и нейронов красного ядра на мозжечковые и корковые стимулы $A - B\PiC\Pi$ на стимуля ию $\Pi R (I)$ и GM (L) в рубро-спинальном нейроне Каждая кривая представляет собой наложение из 10 пробегов луча. B - одиночение мозжечковые (I-I) и корковые (5-B) ГПСП в другом нейроне КЯ (I-3-B) при одной и той же силе стимуляции и (I-B) при увеличении силы стимуляции Калибровка: на 1 и B 1 мс



ровнем потенциала покоя не ниже 50 мВ, у которых регистрировались корковые и мозжечковые ВПСП. На рис. 1, А показаны ВПСП отведенные из одного и того же рубро спинального нейрона на раздражение ПЯ (1) и СМ (2). Отмечается более быстрая фаза подъема деполиризации на стимуляцию ПЯ. В то же время ВПСП на СМ имеют более сложную форму. Используя различные приемы (10), можно определить комплексную природу ВПСП, а иногда и выделить отдельные компоненты. В проведенных экспериментах 72% исследованных корковых ВПСП имели сложную природу, а у 45% можно было выделить первый компонент. Такие же сложные ответы в рубро-спинальных пейронах возникали на раздражение ножек мозга.

На рис. 1, 6 представлен другой нейрон КЯ, у которого были зарегистрированы мозжечковые (1-1) и корковые (5-1) ВПСП Верлине три кривые получены при строго пороговом раздражении; нижние записи—при увеличении интенсивности стимуляции. Корковые ВПСП имеют более сложную структуру, возникающую в результате суммации компонентов с различными скрытыми периодами и фазами нарастания. Время нарастания первого компонента коркового и мозжечкового в ВПСП приблизительно одинаково. У 18,5% от всех исследованных

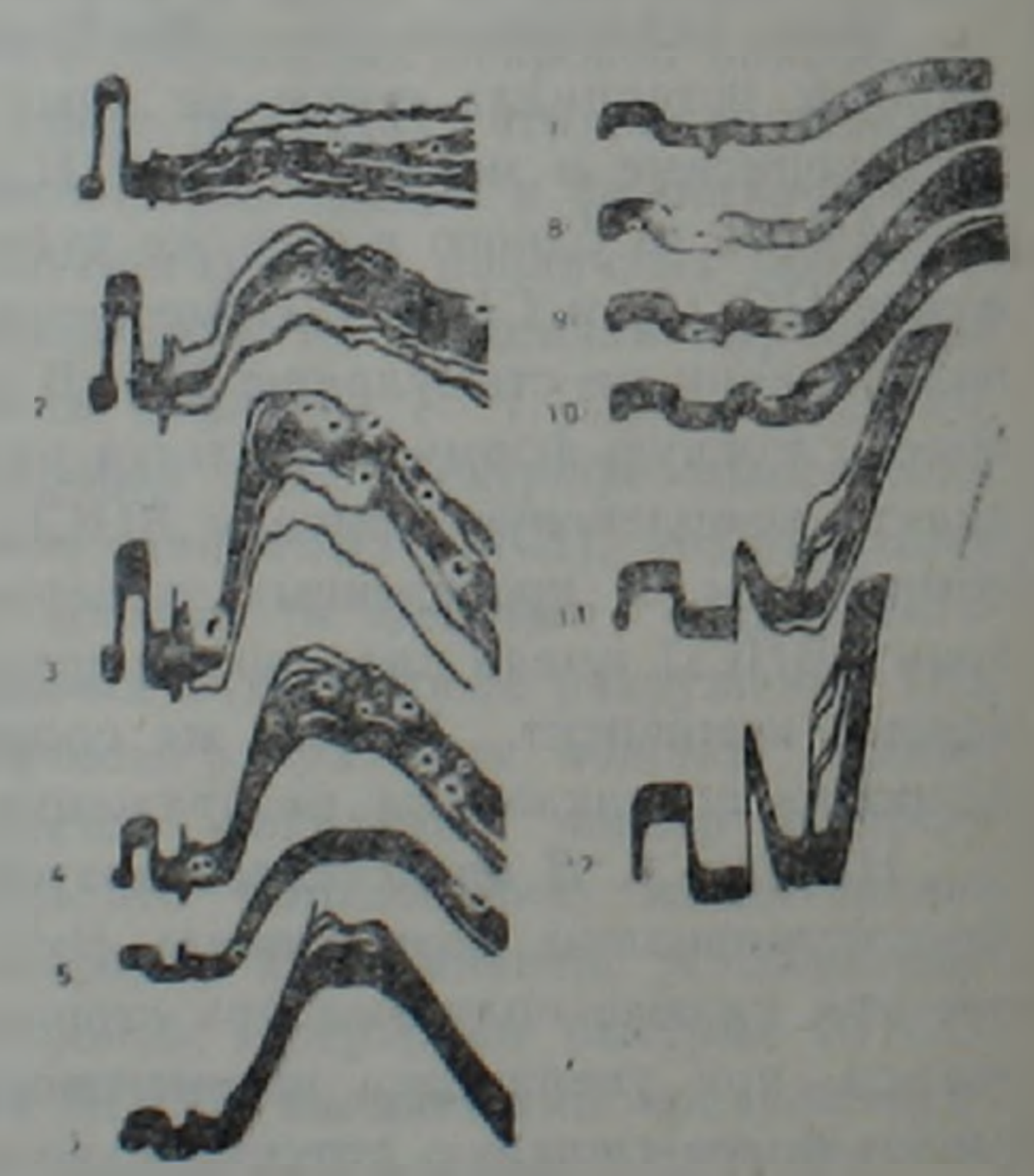
корковых BIICII фаза нарастання первого компонента не превышала 2,0 мс.



нс 2. Выявление новых быстрых компонентов кортико рубральных ЕПСП у кошек с разрушенным ПЯ. А ВІ СП вызванный в рубро спинальном нейроне при раздражении ножек мозга— верхняя кривая запись потенциала поля после выгода микроэл ктрода из клетки— няжняя крив я Калибровка: 2 м., 2 мс. — ППСП, вызванный стимуляцией СМ. Галибровка: 1 мВ, 1 мс (приведено по (*)

На рис. 2. А представлен ВПСП, зарегистрованный в нейроне КЯ на раздражение ножек мозга у кошки с предварительно удаленным ПЯ. Рисупок заимствован из другой работы (7). Он демонстрирует познавновение нового быстрого компонента, который, суммируясь с предшествующим медленным корковым потенциалом, образует сложный ВПСП, что отражает феномен «спраутинга». Сопоставление рис. 1, $\mathcal{E}(5-9)$ с рис. 2, 4 выявляет много общего в регистрируемых потенциалам с гем различием, что первый копонент у оперированных животных имеет большую амплитуду и суммируется с медленным потенциалом, т гда как у интактного животного наблюдается суммация периото быстрого компонента с последующим быстрым компонентом.

Рис 3 ВПСП рубро-спинального нейрона вызванные стимуляцией коры мозга АПСП зарегистрированы при разных силах раздражения СМ (1-6) и 17-12) разные развертки луча. Каждая кривая представляет собой наложение 2м-31 пробегов луча Калибровка: 0.5 м 1, 1 мс



На рис. 2, Б показан другой тип коркового ВПСП в рубро-спинальим исйроне у животного с предварительно разрушенным ПЯ (7). У Этого ВПСП быстрый компонент возникает с короткой латенцией Аналогичный тип ответа был зарегистрирован нами у 7 нейронов интактных животных (рис. 3). Скрытые периоды ранних компонентов равнялись 0,9—1,5 мс. Средняя скорость проведения по волокнам вызывающим эти компоненты, составила 39,5 м/с, что соответствует скорости, вычисленной для волокон, ответственных за начальный внонь образованный компонент ВПСП после разрушения ПЯ (7) Следовательно, у интактных животных возможна регистрация потенциалов которые имеют одинаковые характеристики с аналогичными компонентами корковых ВПСП рубральных нейронов отражающих феномен «спраутивга».

Институт физиологии им Л. А Орбели Акадсмии наук Армении

Վ. Լ. ԳՈՐՈԳՆՈՎ, Հայաստանի ԳԱ ակադեմիկոս Վ. Բ. ՖԱՆԱՐՋՅԱՆ

Կեղևային ազդանշաններին տրվող կառմիր կորիզ-ողնուղերային նելորնների առագ պատասխանները

Սուր փորձի պալմաններում նեմբունալային անղգայացման տակ գտնվող կատուների մոտ ներբջջային գրանցման մեթոդով ուսումնասիրվել նաև կարմիր կորիզ-ողնուղեղային նեյրոնների սինասլտիկ պրոցեսները, որոնք ծագում են կարմիր կորիզում գլխուղեղի կեղևի զգայաշարժիչ շրջանի գրգրոման ժամանակ։

Ցույց է տրվել արագ սինապտիկ պատասխանների ծագոան հնարավո լափանիշներով, ինչպիսիք ունի նեյրոնային ցանցերում ապրաուտինգ։ ֆե-Նոմենը արտացոլող կարձ գաղտնի շրջան ունեցող արագ պոտենցիալը

ЛИТЕРАТУРА — ԳՐԱԿԱՆՈՒԹՅՈՒՆ

I. Y. Nationara, N. Misuno, Brain Res., v. 35, № 2, p. 283-286 (1971). 2 J. S. King, C. F. M. r. in, J. B. Conner, Brain Res., v. 38, № 2, p. 251-265 (1972). 3 J. S. King, R. M. Dom, J. B. Conner e. a., Brain Res., v. 52, № 1, p. 61-78 (1973). 4 L. T. Brown, J. Comp Neurol., v. 147, p. 149-168 (1974). 5 N. Tsukahara, K. Kosaha, Exp. Brain Res., v. 5, № 2, p. 1.2-107 (1968). 4 K. Torama, N. Tsukahara, K. Kosaha, Exp. Brain Res., v. 5, № 2, p. 1.2-107 (1968). 4 K. Torama, N. Tsukahara, K. Kosaha, Exp. Brain Res., v. 11, № 2, p. 187-198 (1970). 7 N. Tsukahara, H. Hultborn, F. Murukamt, Y. Fujito, J. Neurophysiol., v. 38, № 0, p. 1359-1372 (1975). 8 N. Tsukahara, Y. Fujito, Brain, Res., v. 106, № 1, p. 184-188 (1975). 9 F. Muruhamt, N. Tsukahara, Y. Fujito, Exp. Brain Res., v. 30, № 2-3, p. 215-258, (1977). 10 R. B. Фанар)жин, В. Л. Городнов, Нейрофизиология, т. 17, № 5, с. 60 —673 (1985). 11 V. V. Fanardjian, V. L. Gorodnov, Brain Res., v. 4.5, № 1, p. 131-137 (1988).

ФИЗНОЛОГИЯ

VAK 612 827

В. Е. Адамян Р. С. Аконян, Р. Б. Алавердин, А. Л. Маркарян, Г. Х. Мелконян, С. Р. Нерсесян, В. А. Саркисян, Н. В. Табирян

Импульсное направленное световое излучение человека Представлено академиком АН Армении О. Г. Баклаваджяном 26/IX 1991)

Известны различные модели информационного обмена между объектами природы (см., например (¹)). Согласно модели, выдвинутой одинм из авторов настоящей работы (Г. Х. Мелконяном). биологический организм является многоуровневой системой. Информационный обмен между уровнями системы происходит не непрерывно, а лишь при изменениях на каждом уровне, например, возникающих под внешними воздействиями. Так как оптический диапазон электромагнитного излучения является во многих аспектах оптимальным для информационной связи (в том числе в биологических системах), была поставлена задача о детектировании светового излучения человека, которое могло бы в дальнейшем быть приведено в соответствие со «словами» и «предложениями», переданными в моменты информационного обмена.

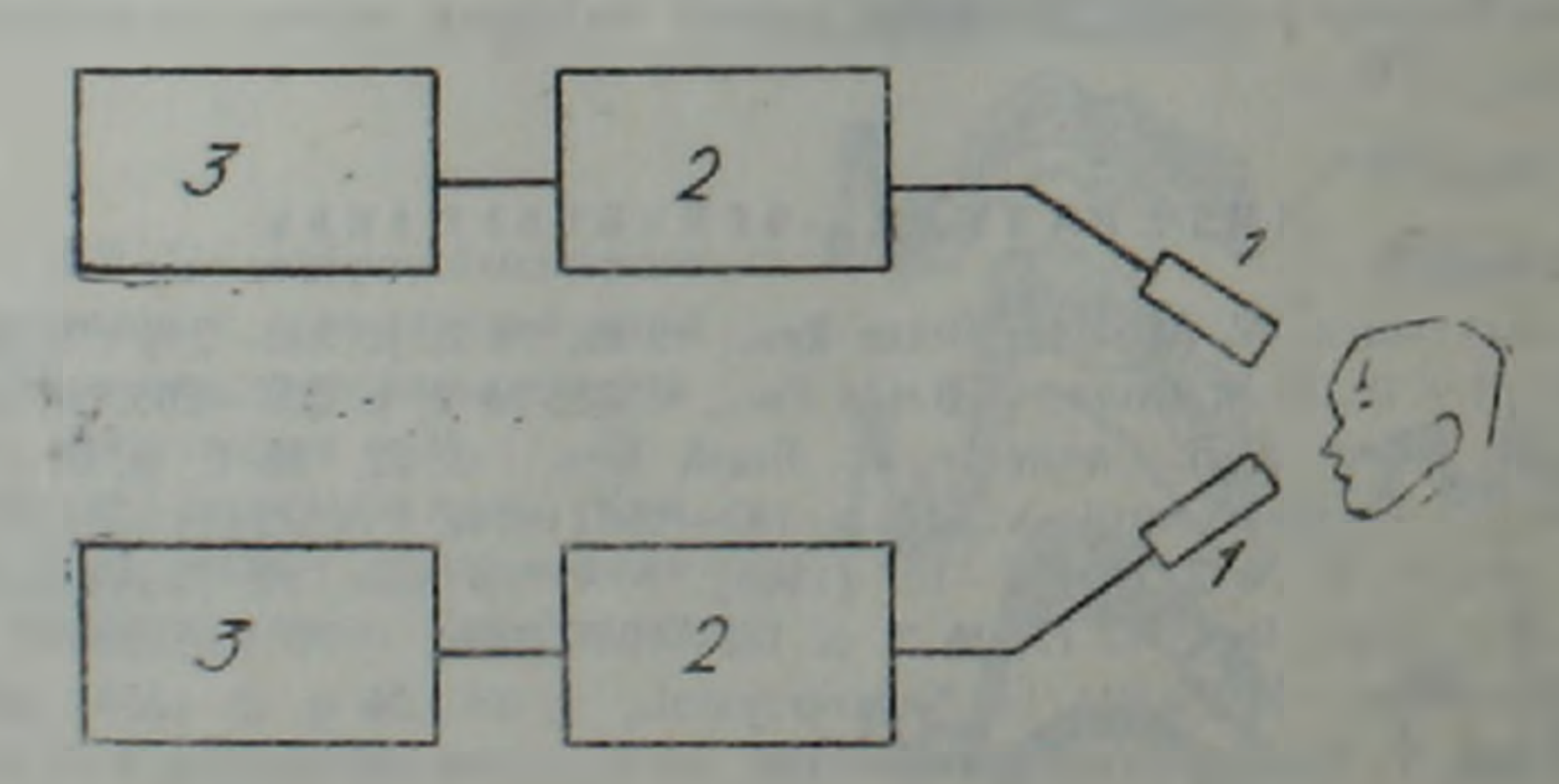


Рис. 1. С ема экспериментальной установки: $I - \phi$ отоэлектронный умножитель; $2 - \pi$ предусидитель; $3 - \pi$ многоканальный амализатор импульсов

На рис. 1 представлена схема экспериментальной установки, состоящей из двух независимых каналов регистрации фотонов. Каждый канал состоял из фотоумножителя, чувствительного в области 300— 650 нм, предусилителя и многоканального анализатора импульсов. Фотоумножители были установлены в темной комнате на расстоянии 5 20 см от человека.

В процессе набора амплитудного спектра импульсов, поступающих на нход анализаторов, было замечено, что помимо шумовых импульсов регистрируются также сигнальные импульсы значительно большей амплитуды. После тщательного анализа возможных причин нозникновения подобных сигналов было установлено, что сигнальные импульсы возникают вследствие световых вспышек, испускаемых челопеком.

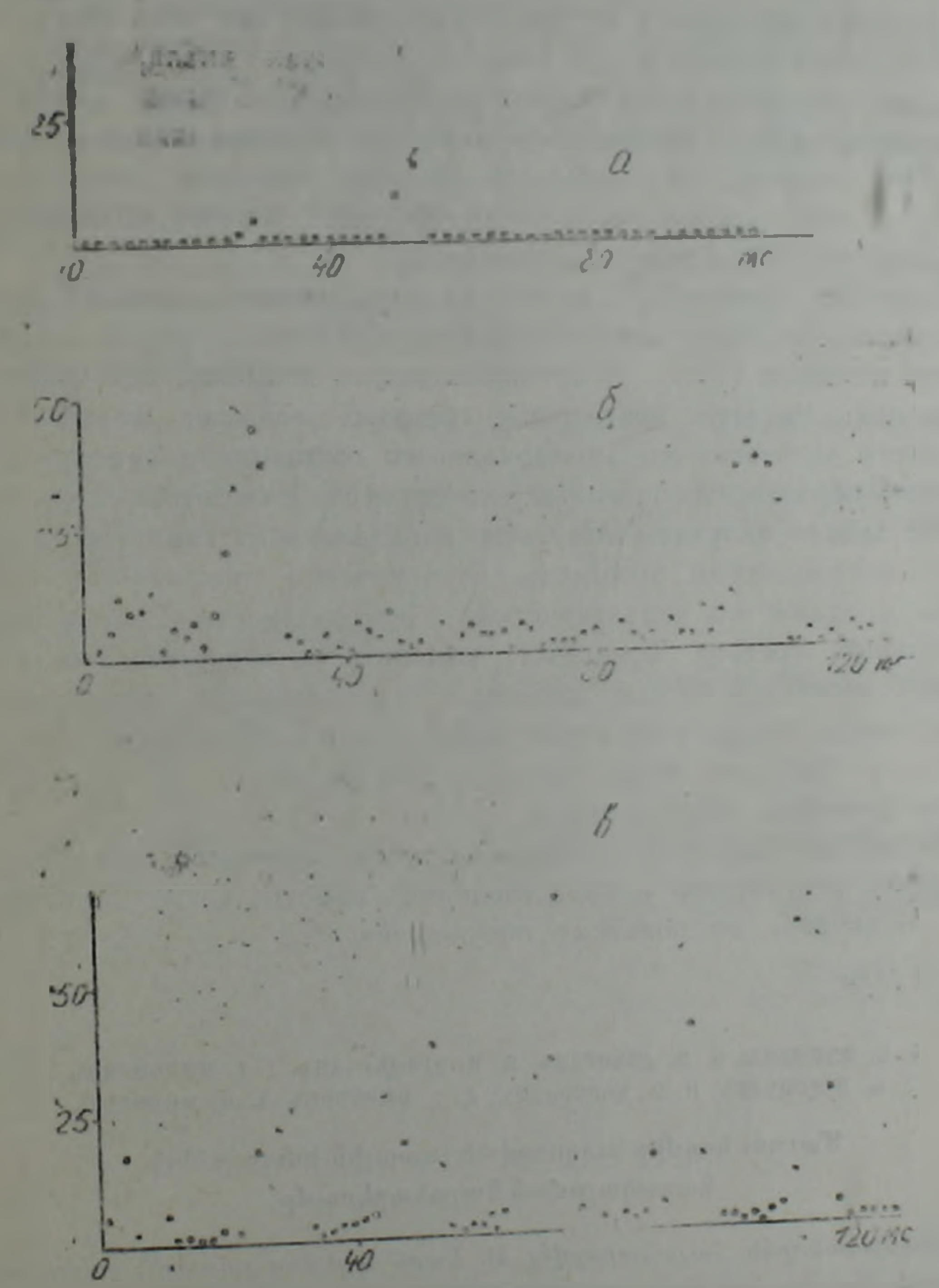


Рис. 2. Временное распределение интенсивности световых вспышек. По оси ординат число импульсов

Световые вспышки наблюдались по разным каналам регистрации незтинсимо и не совпадали во времени друг с другом. Это указывает

на 10, 1то исходящие от человека световые вспышки-направленные.

Временное распределение интенсивности световых вспышек измерялось в медленном временном режиме анализатора. Типичные распределения представлены на рис. 2. Длительность отдельных имиравсов составляла 4—200 мс.

Для оценки интенсивности наблюдаемых световых вспышек из ф тоумножитель направлялось излучение лазера мощностью 0,3 мВт и длиной волны 633 им, прошедшее через нейтральный светофильтр, ослабляющий излучение в 103 раз. Возникающие при этом сигнальные импульсы регистрировались в младших каналах анализатора, в то время как импульсы возникающие от световых вспышек, попадали в старшие каналы, а иногда и выходили за пределы шкалы анализатора. Это означает, что мощность световых вспышек, испускаемых челозек м, может значительно превышать 10 в Вт, что соответствует интенсивности 1013 фотонов в секунду.

И мерения проводились в течение трех месяцев в ночное время. В отдельные дни были зарегистрированы единицы, а иногда—десятки светстых вспышек за час. Чаще наблюдались вспышки, исходящие из области лба. Частота повторения световых вспышек зависела от конкретного человека, его эмоционального состояния и самочувствия.

Таким образом, проведенные эксперименты показывают, что тело человека может излучать импульсы направленного света достаточно большой интенсивности. Механизм возникновения этого необычного излучения, а также его характеристики (когерентность, поляризадию, спектральный состав) предстоит выяснить и изучить. Это может позволить прояснить многие процессы, происходящие при энергоинформац онном обмене в объектах живой и неживой природы, а также привести к созданию ловых методов диагностики.

Исследования продолжаются.

Авторы благодарят О. Г. Баклаваджяна, взявшего на себя труд обсуждения результатов и представления работы, С. М. Минасян и Д. С. Мелконяна за полезные обсуждения.

МАП АВИ

Վ. Ե. ԱԴԱՄՅԱՆ, Ռ. Ս. ՀԱԿՈՐՅԱՆ, Ռ. Բ. ԱԼԱՎԵՐԴՅԱՆ, Հ. Լ. ՄԱՐԳԱՐՅԱՆ, Հ. Ե. ՄԵԼՔՈՆՅԱՆ, Ս. Ռ. ՆԵՐՍԻՍՅԱՆ, Վ. Հ. ՍԱՐԳՍՅԱՆ, Ն. Վ. ԹԱՐԻՐՅԱՆ

Մարդու կողմից ուղղորդված լուսային իմպուլսների ճառագայթման հայտնաբերումը

Փորձնականորեն Հայտնաբերվել են կարճ և ուժեղ լուսային իմպուլսներ առաջված մարդու կողմից։ Այդ իմպուլսները ուղղորդված են տարածության

ЛИТЕРАТУРА — ԳՐԱԿԱՆՈՒԹՑՈՒՆ

1 Ю. М. Романовский, Н. В. Степанов. Д. С. Чернавский, Математическая биофизика, Наука М., 1984